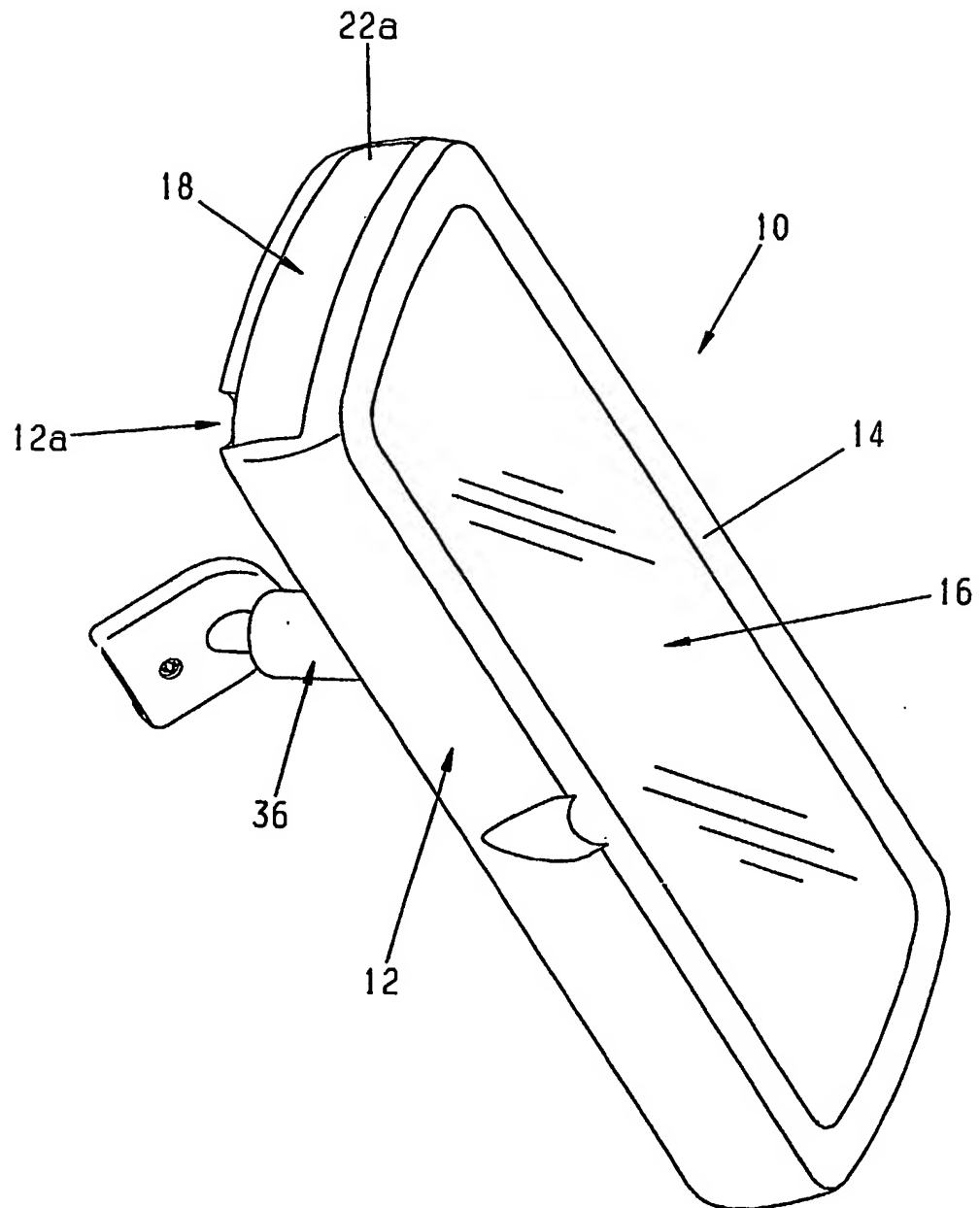


1/34

Fig. 1

2/34

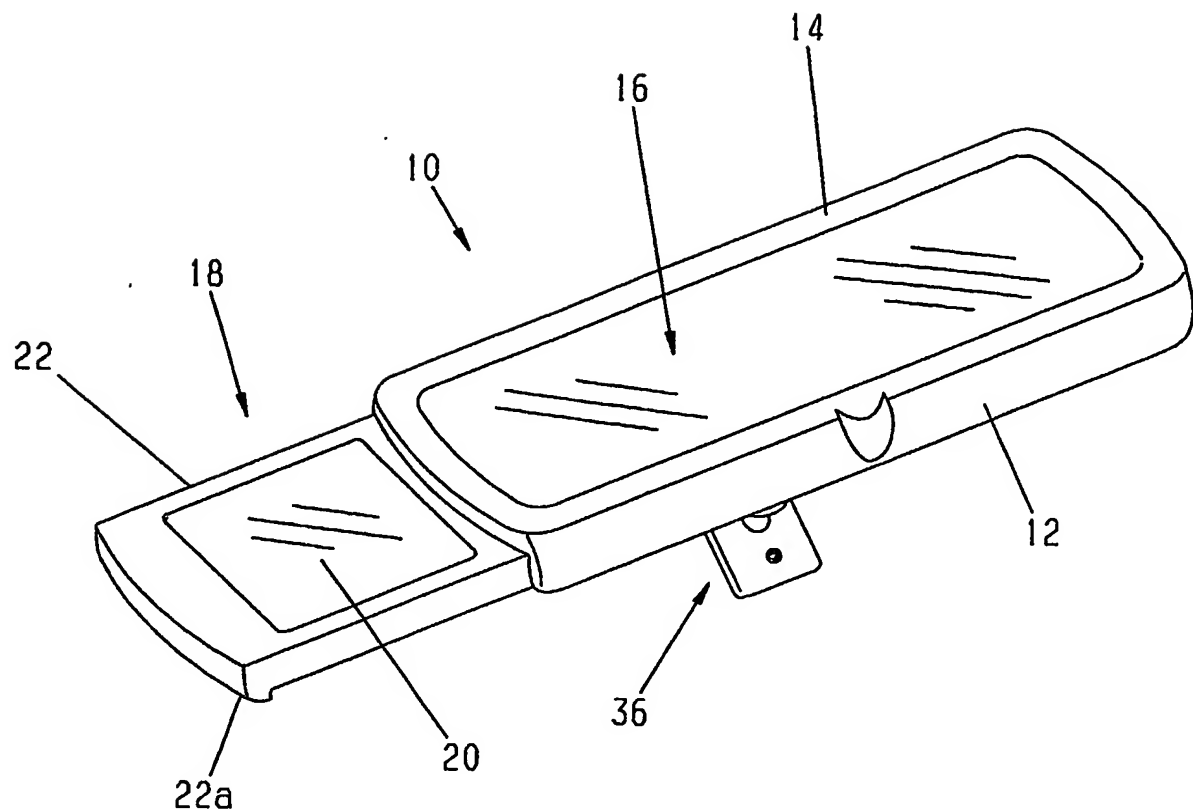


Fig. 2

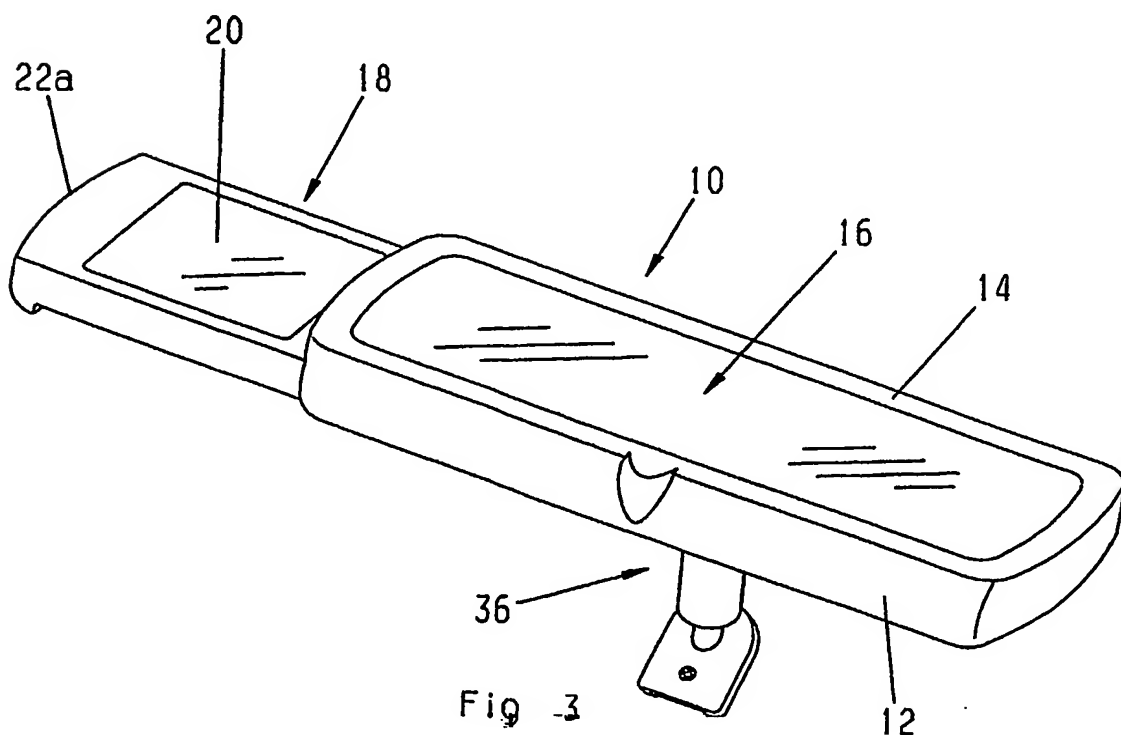


Fig. 3

3/34

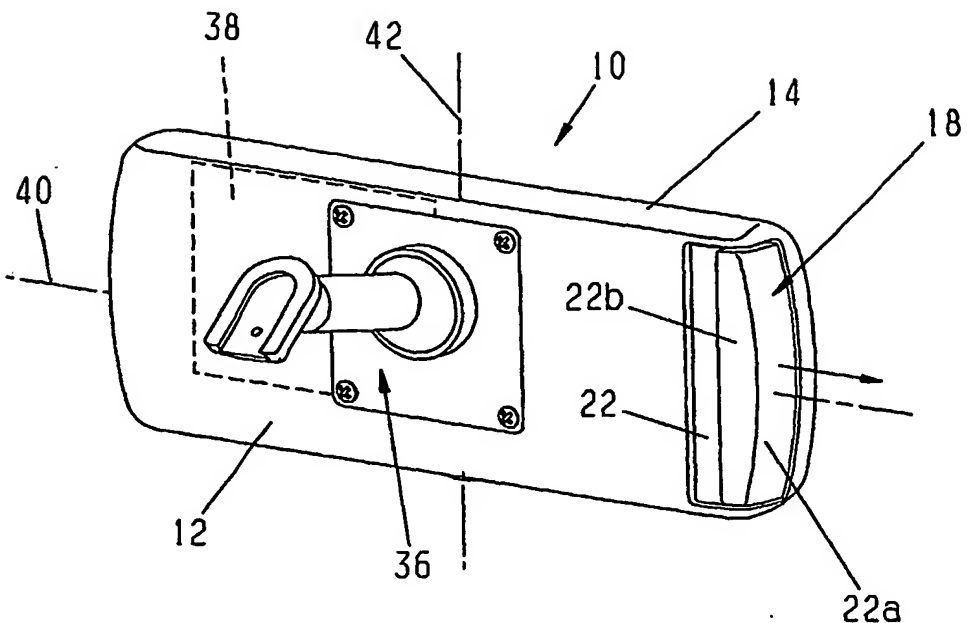


Fig. 4

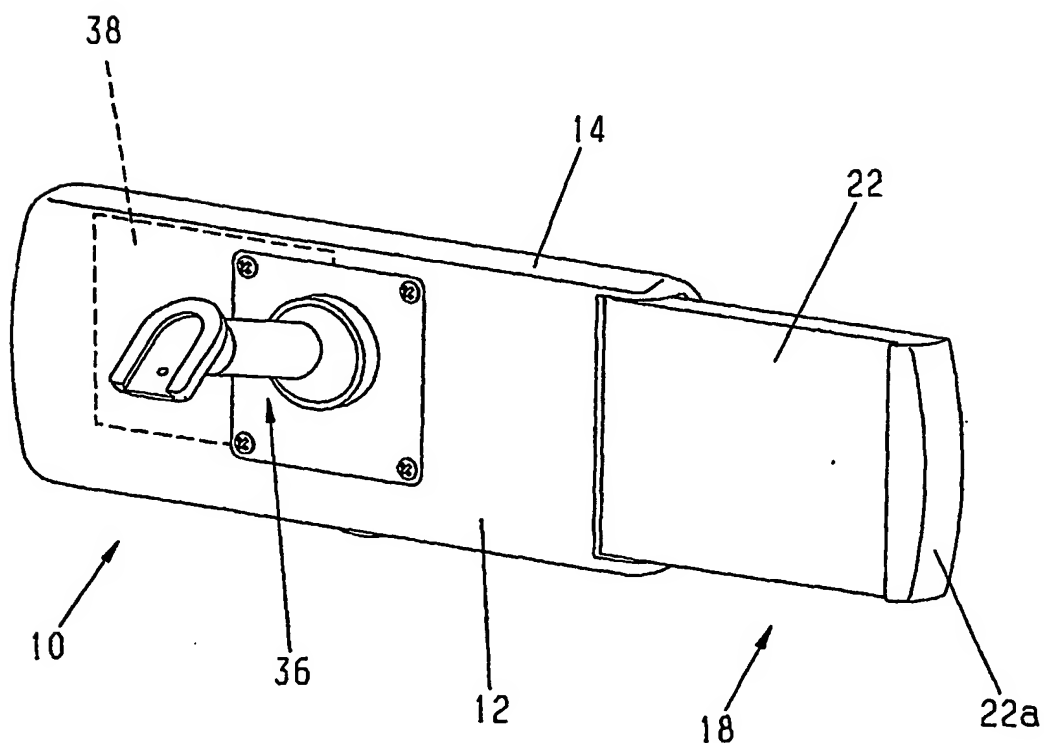


Fig. 5

4 / 34

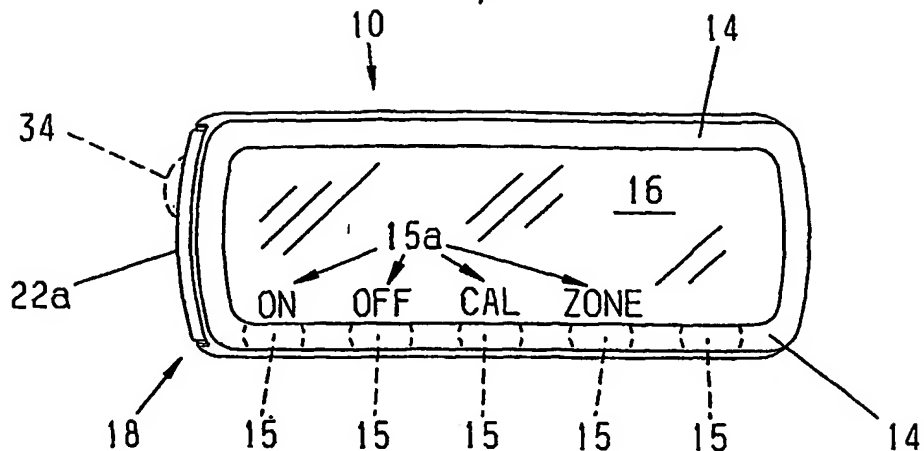


Fig. 6

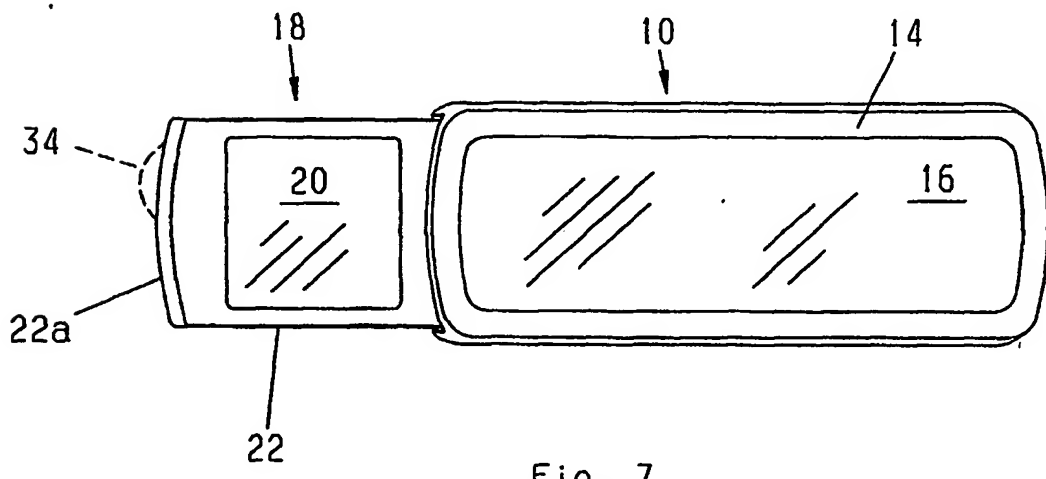


Fig. 7

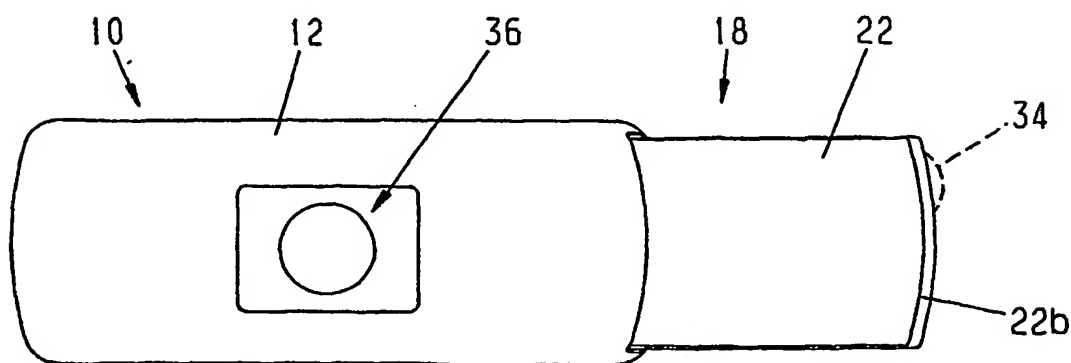


Fig. 8

5 / 34

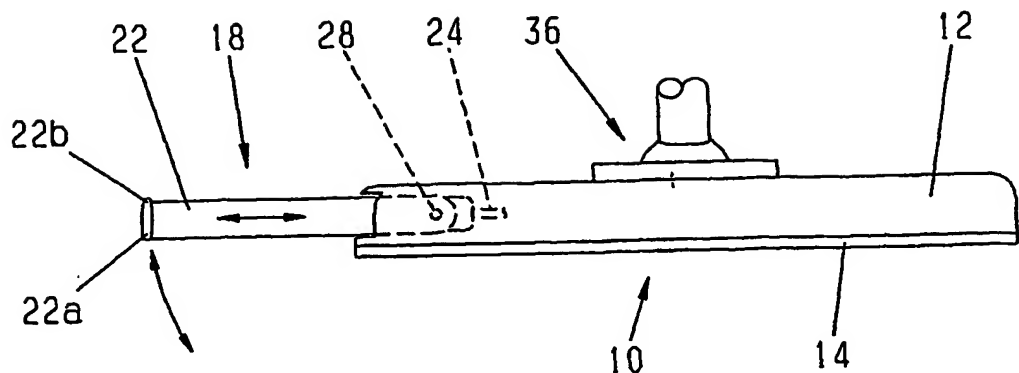


Fig. 9

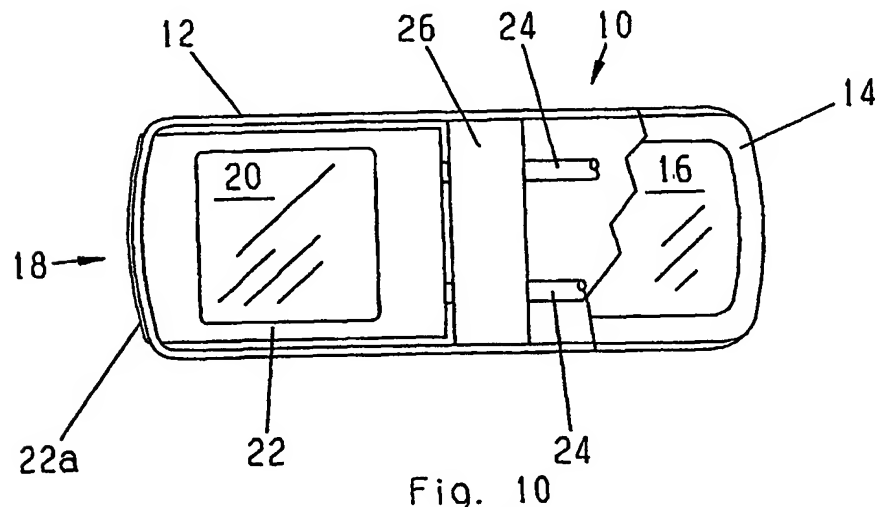


Fig. 10

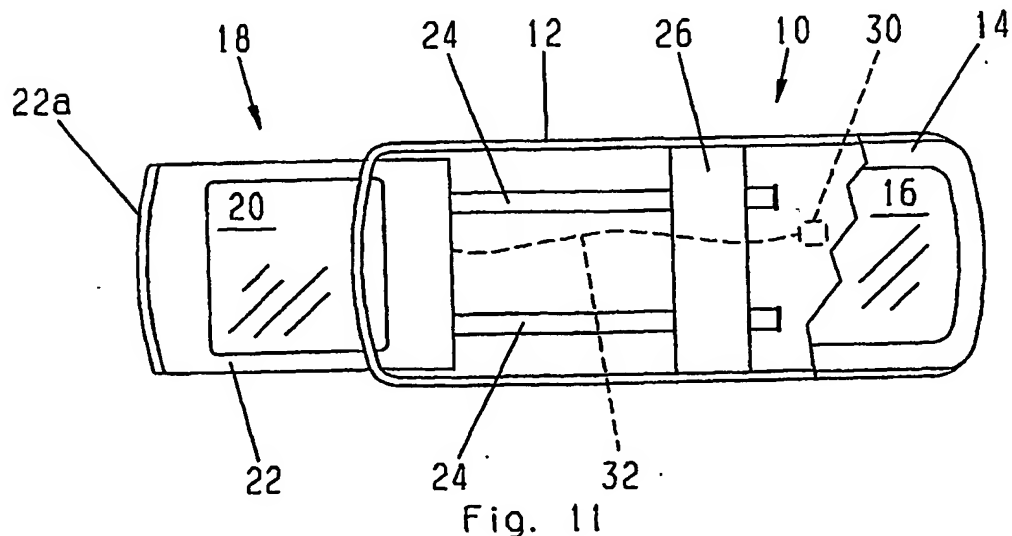


Fig. 11

6/34

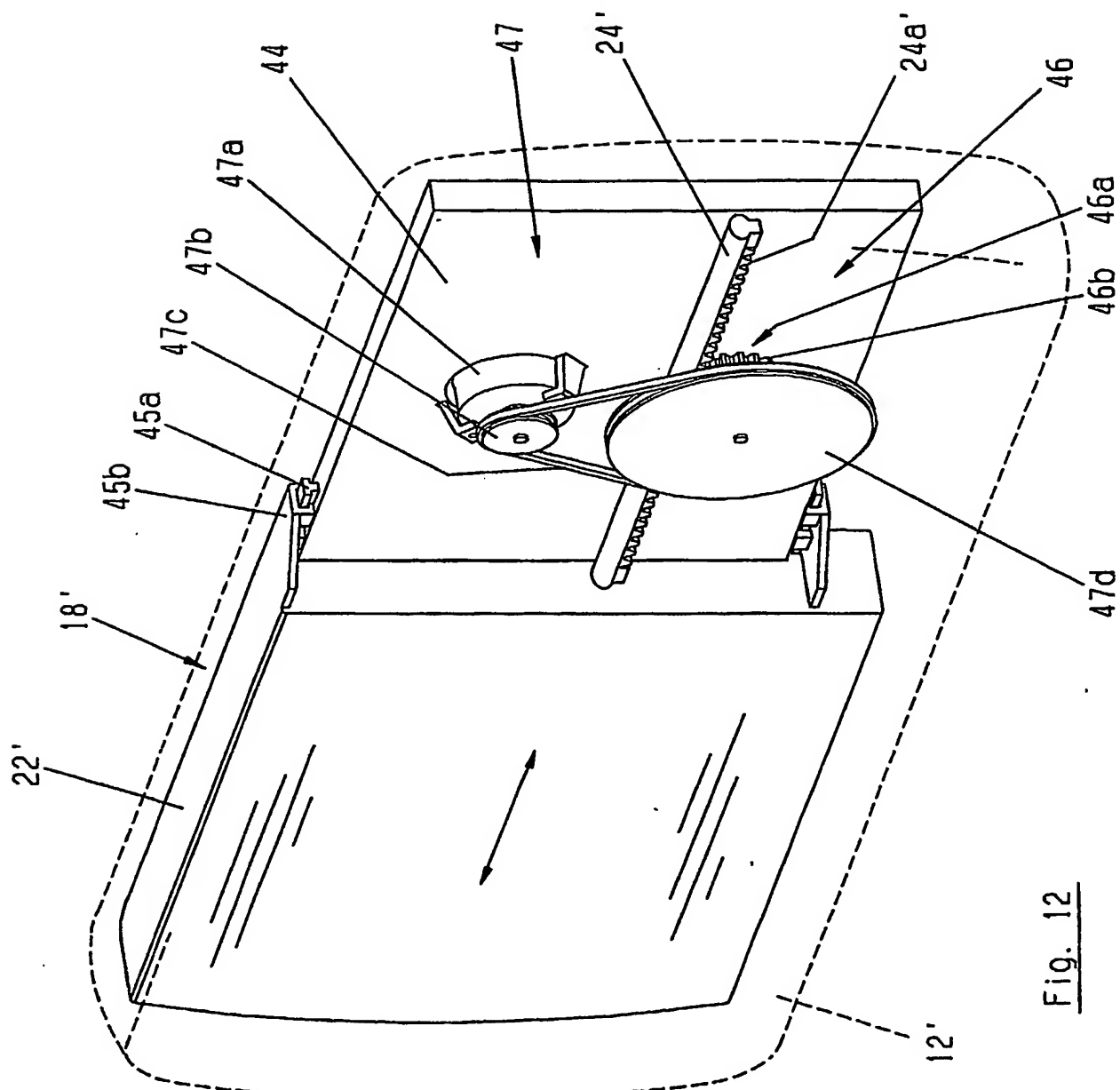
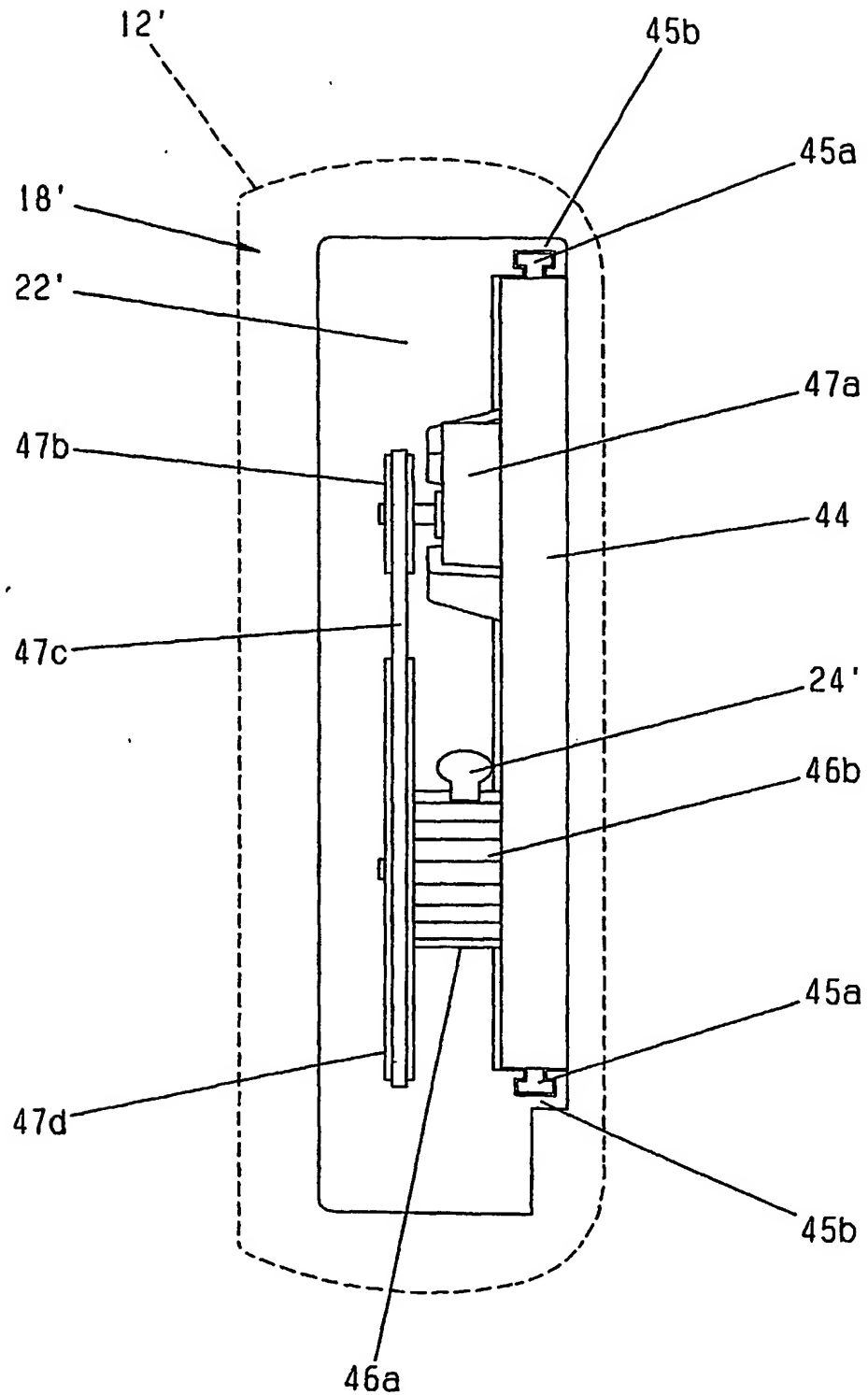


Fig. 12

7/34Fig. 13

8/34

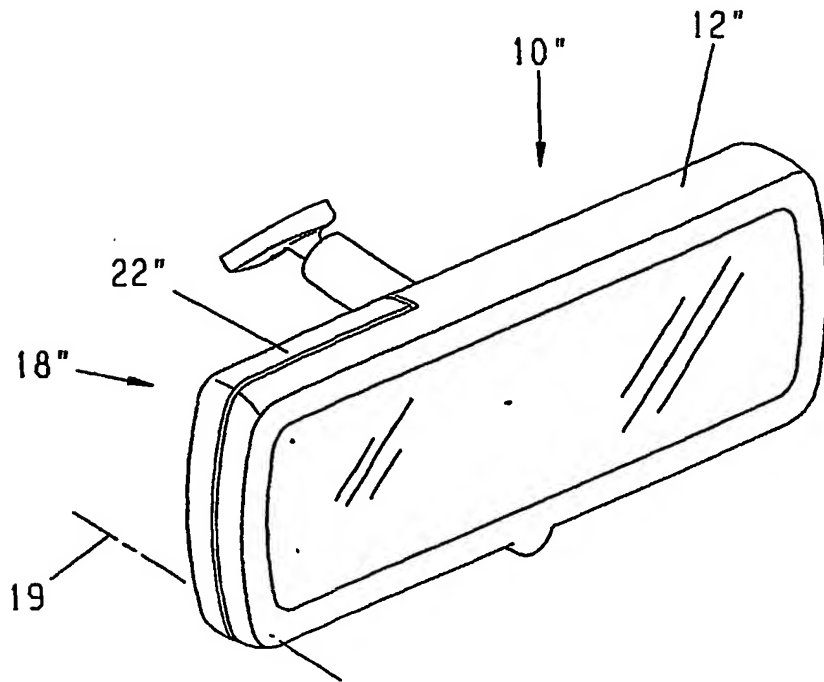


Fig. 14A

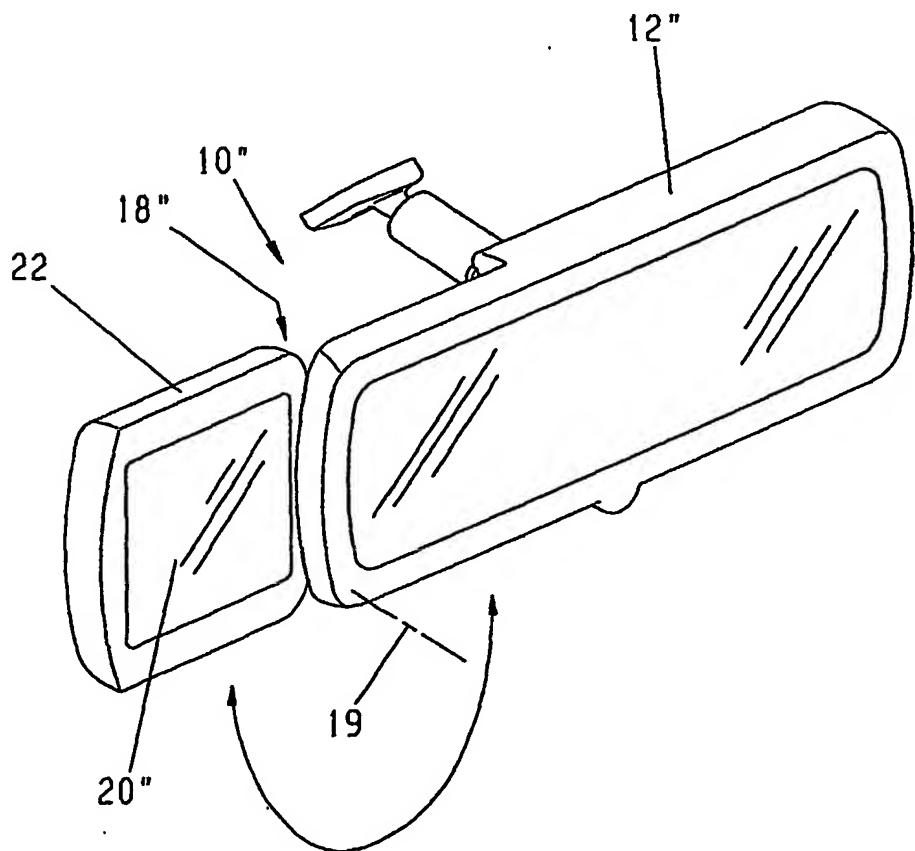
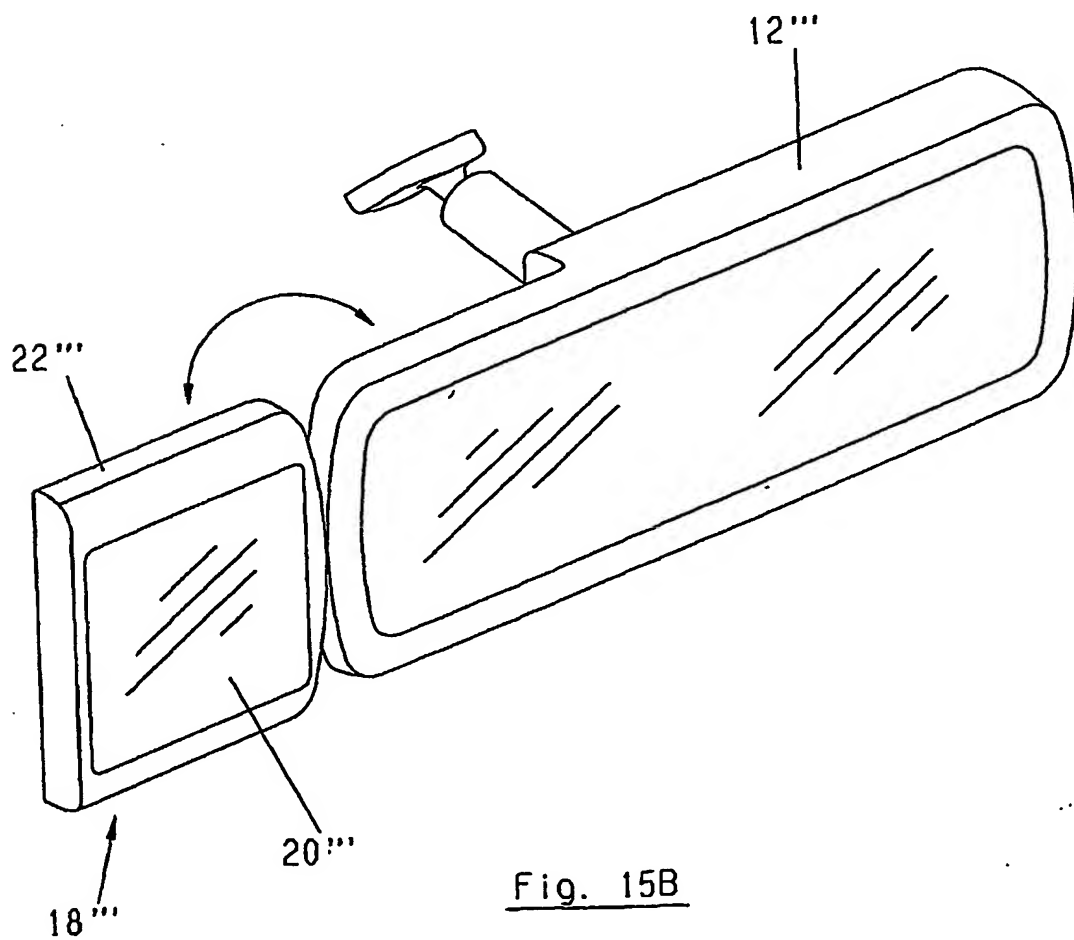
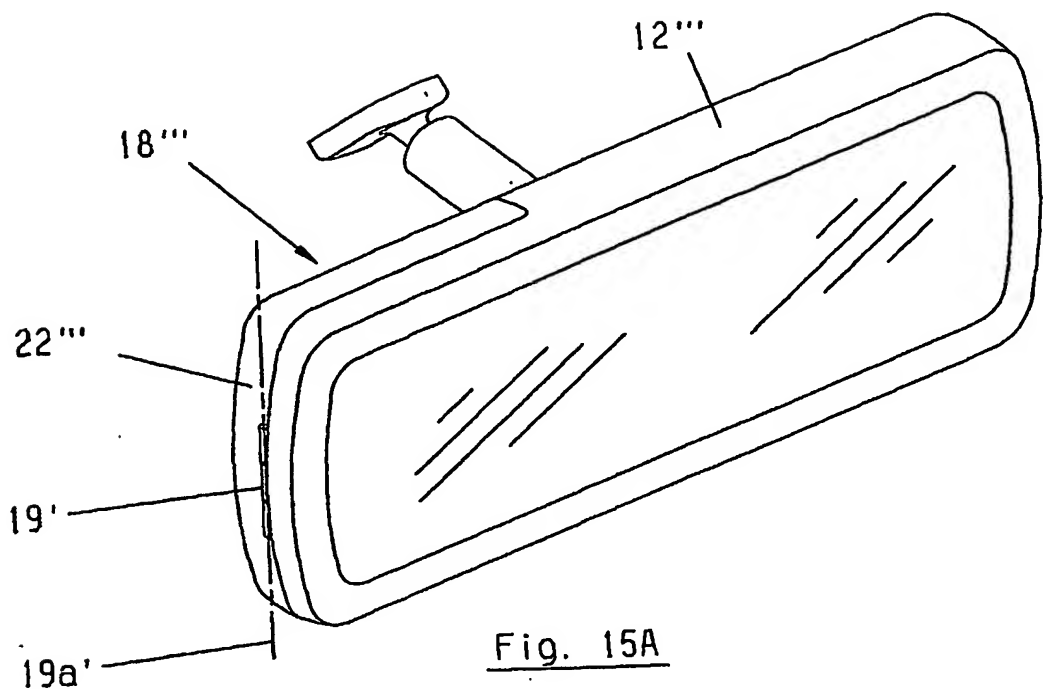


Fig. 14B

9 / 34



10/34

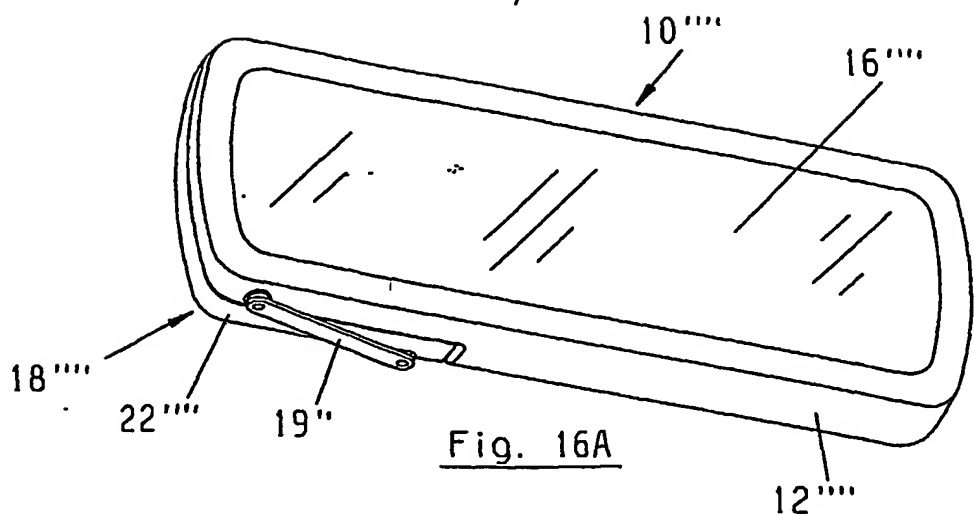


Fig. 16A

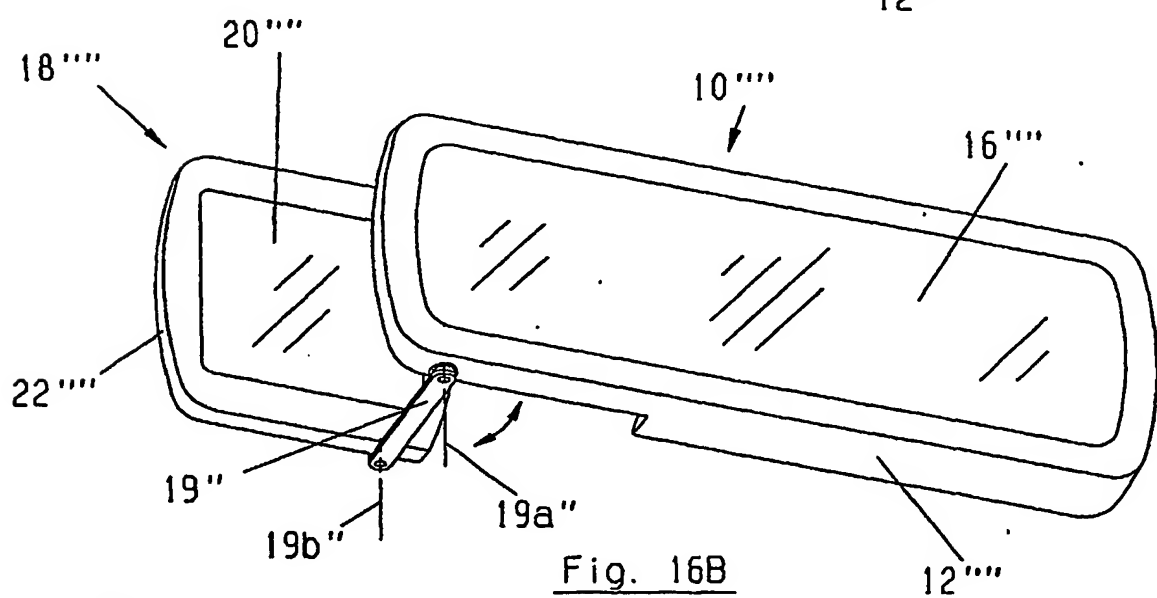


Fig. 16B

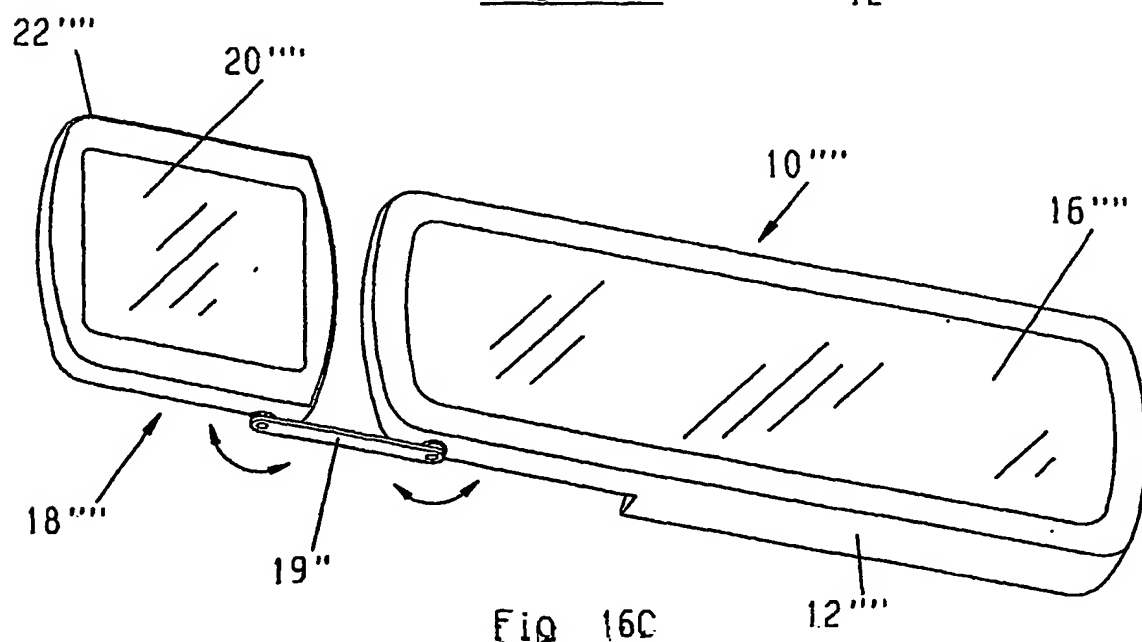


Fig. 16C

10/538724

WO 2004/058540

PCT/US2003/040611

11/34

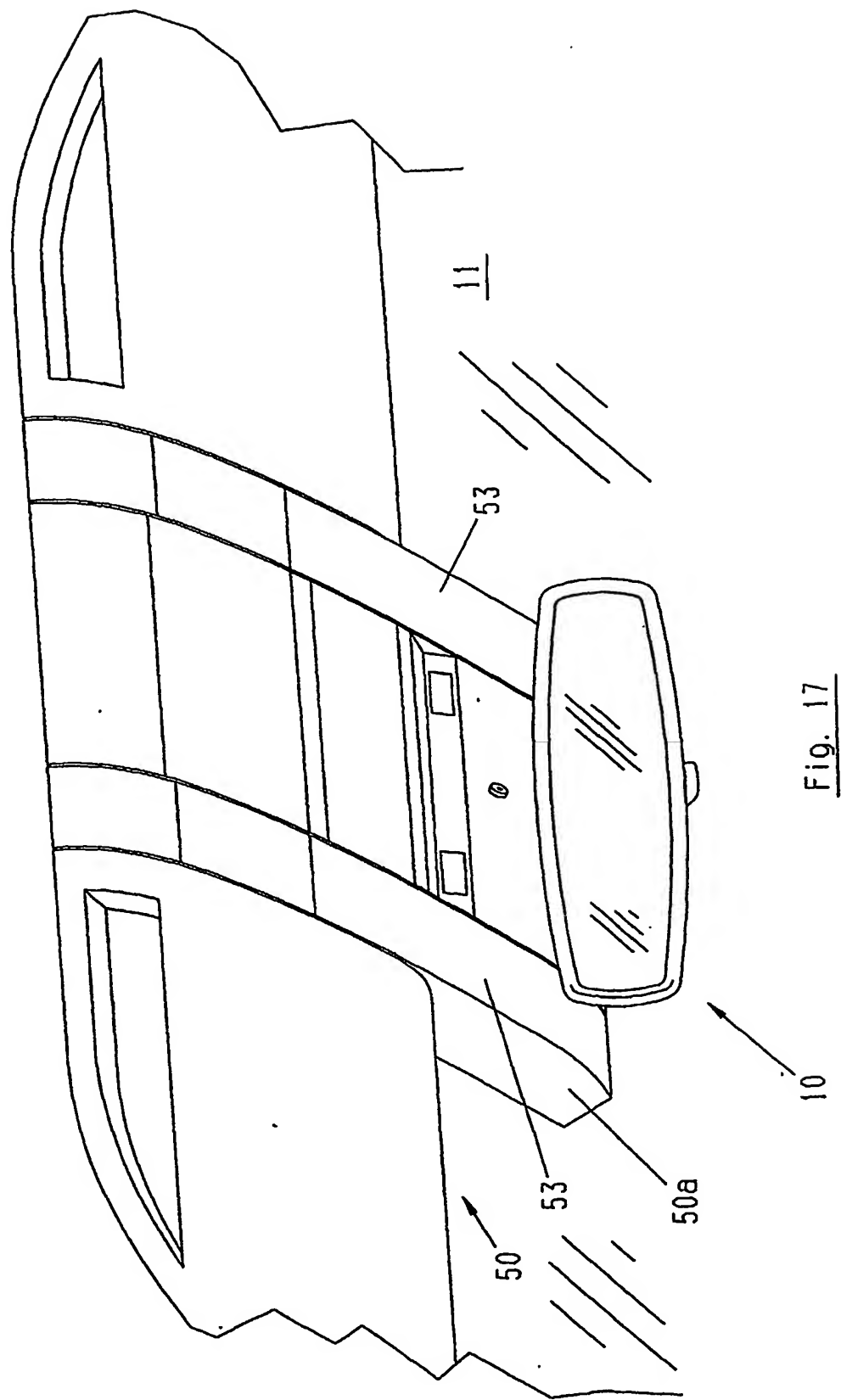


Fig. 17

12/34

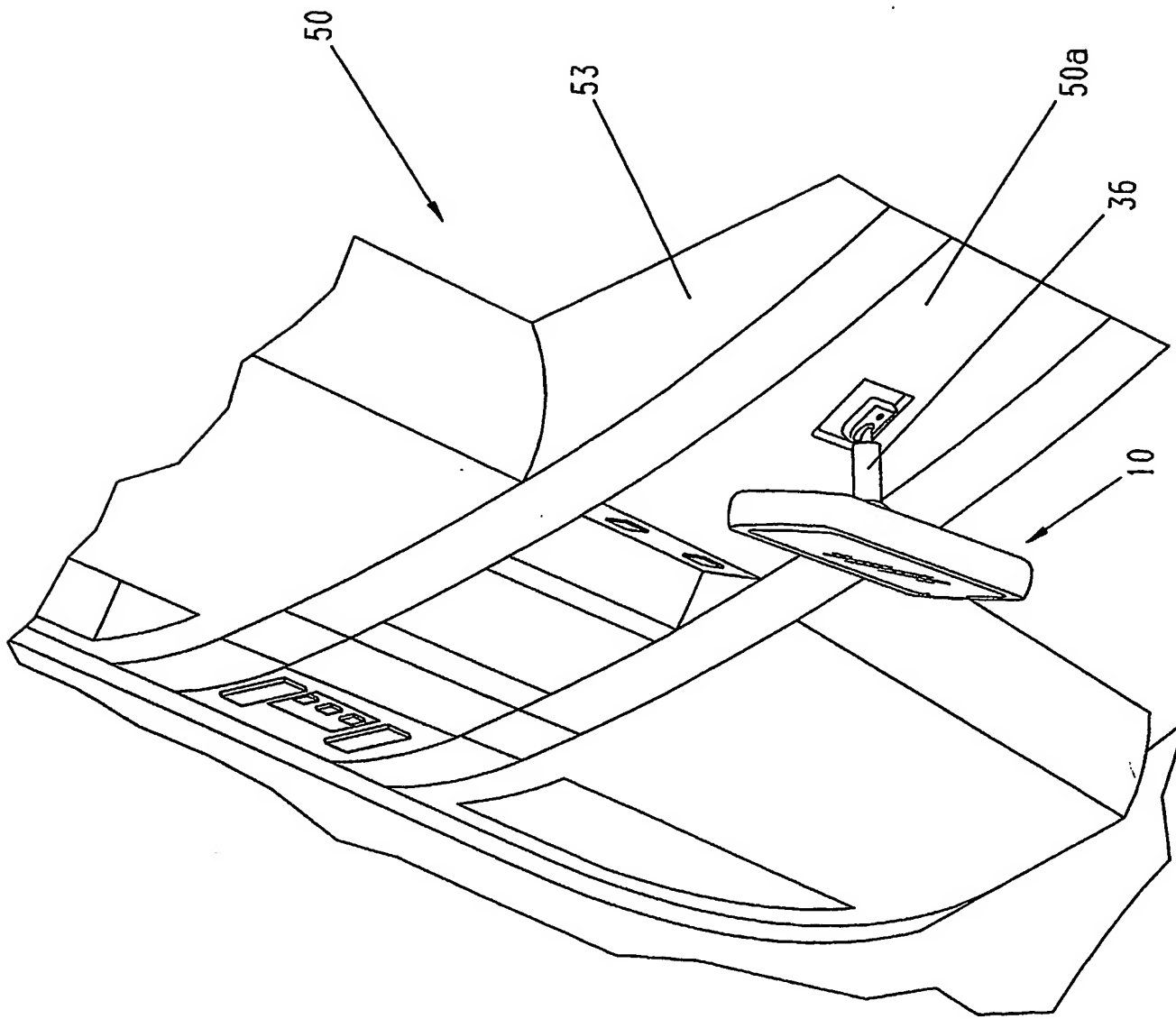


Fig. 18

13/34

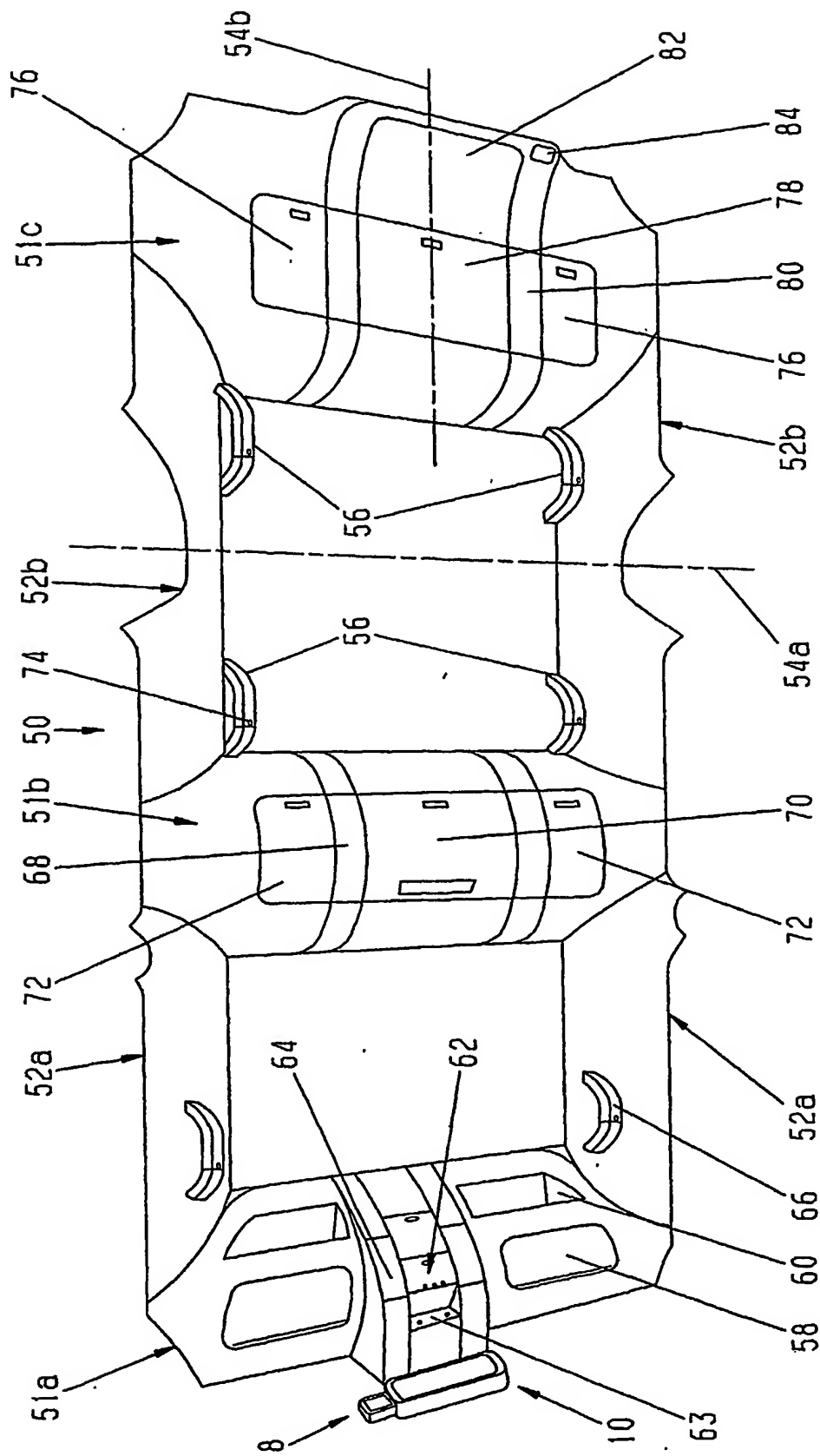


Fig. 19

14 / 34

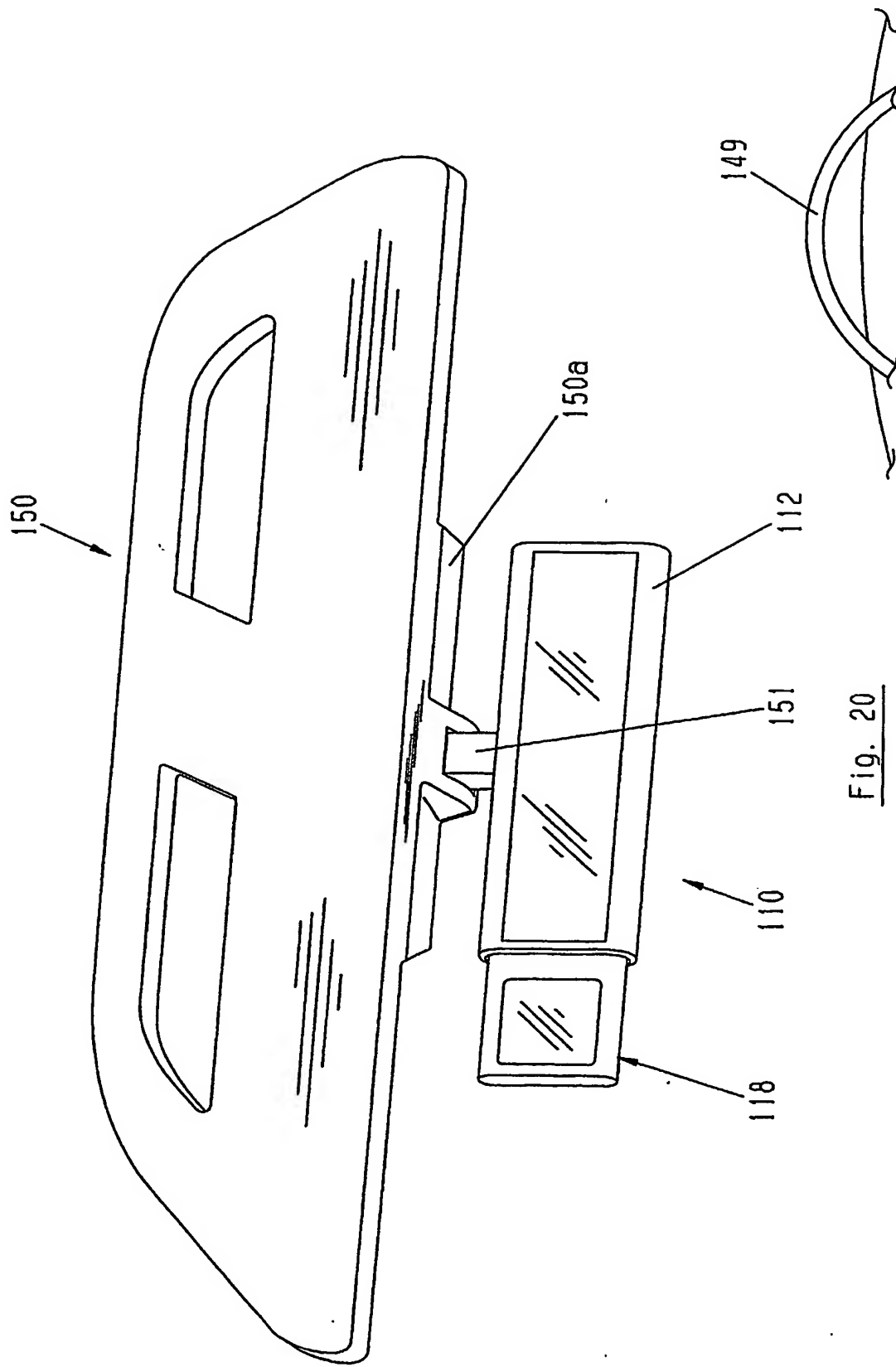
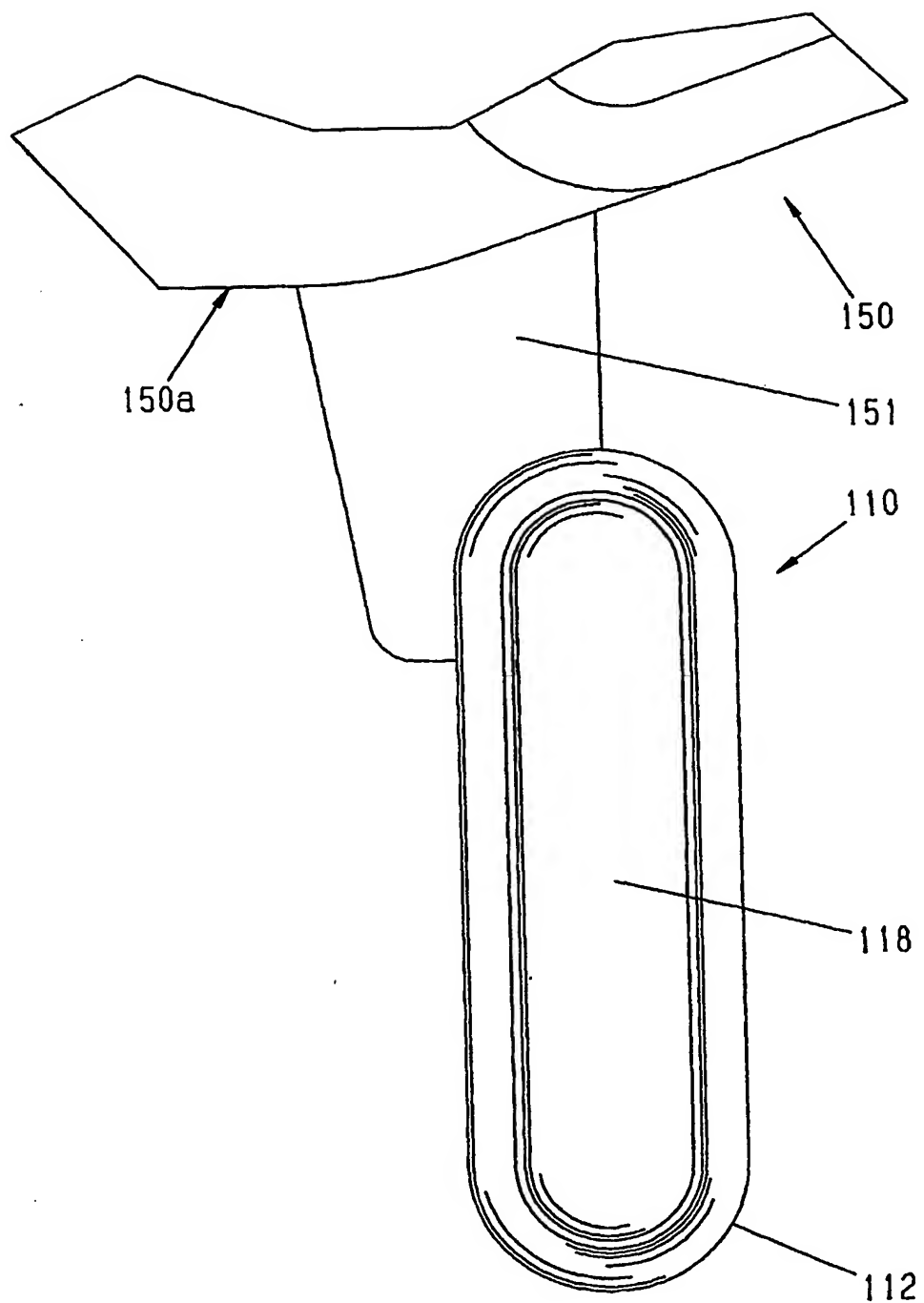


Fig. 20

15/34Fig. 21

16/34

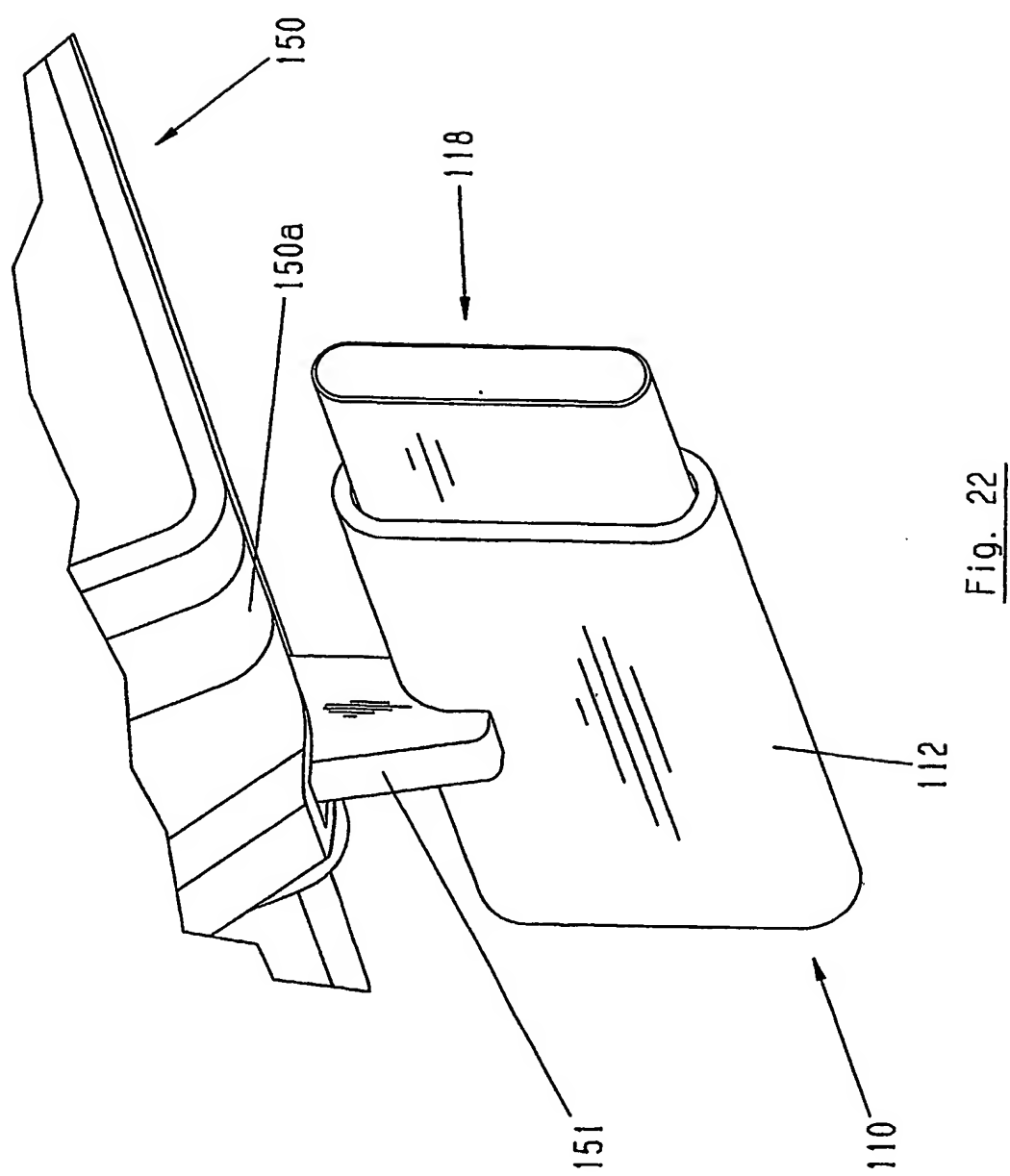


Fig. 22

17/34

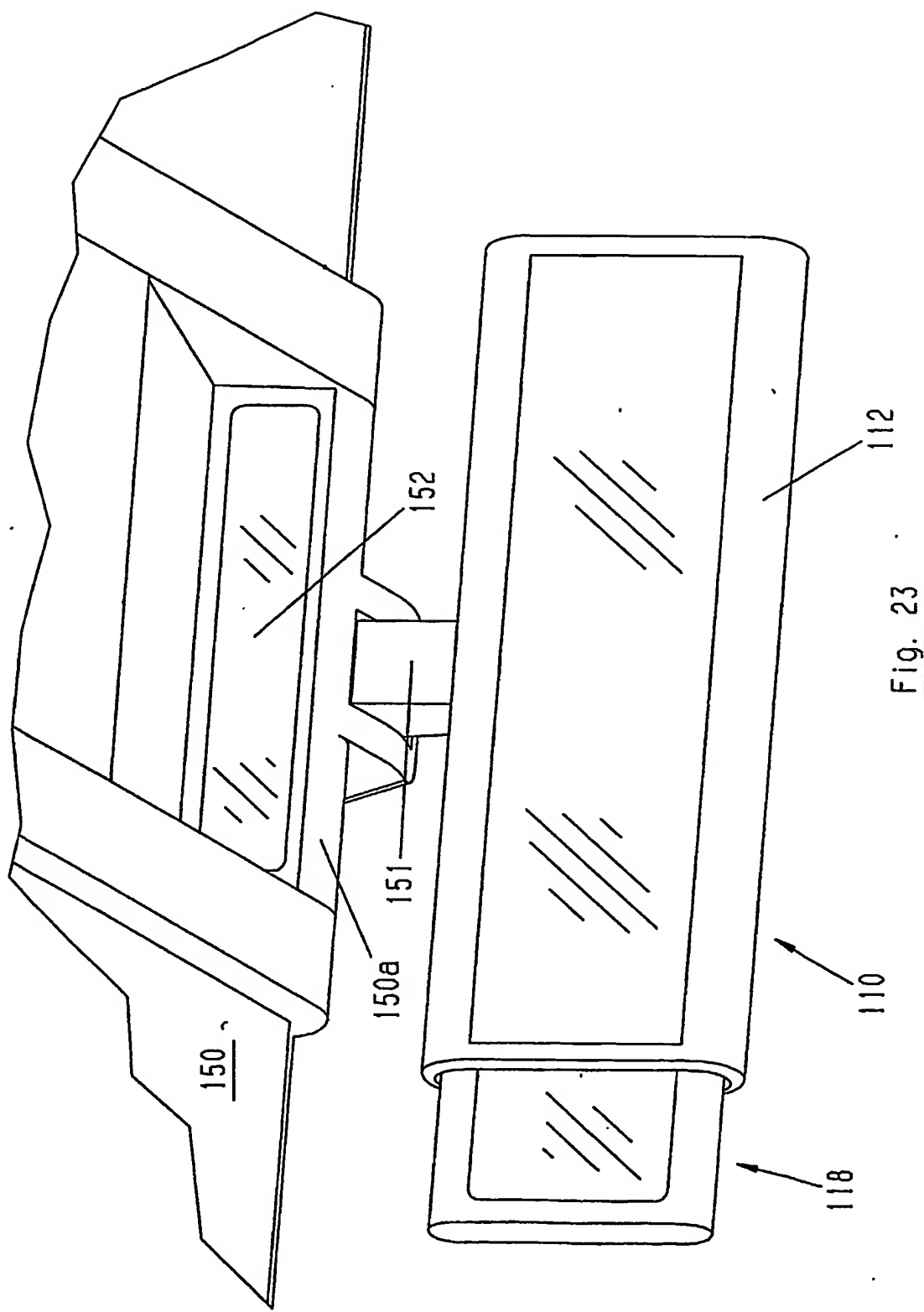


Fig. 23

18 / 34

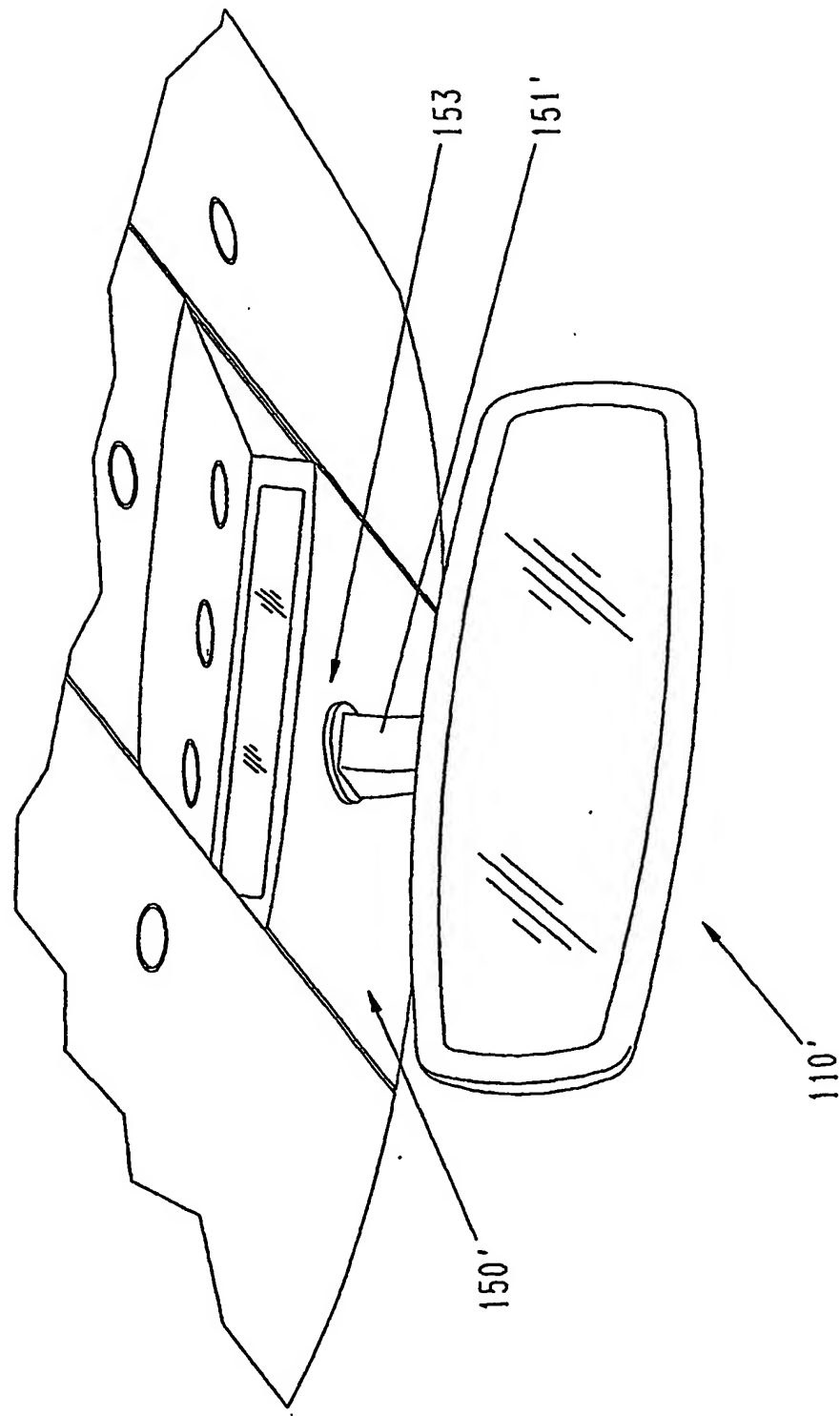


Fig. 24

19/34

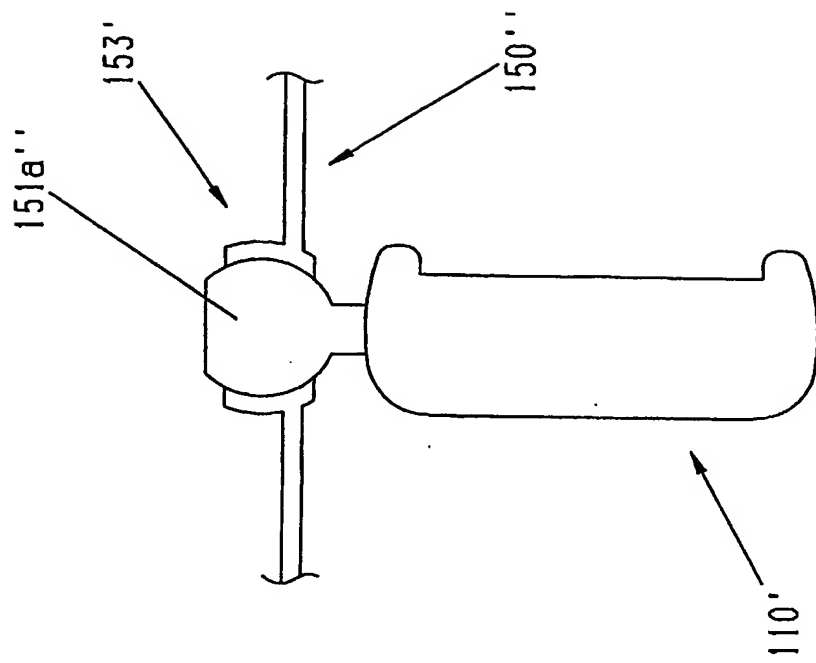


Fig. 26

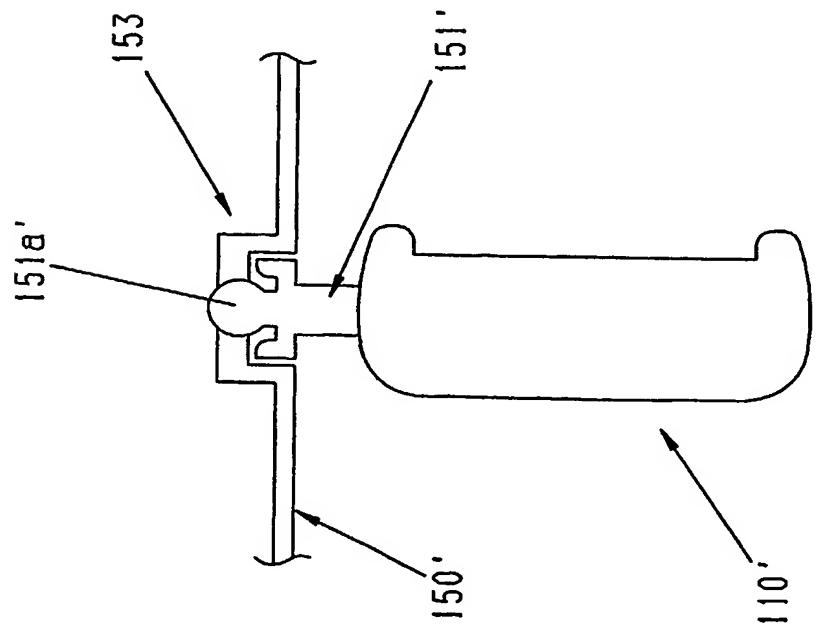


Fig. 25

20/34

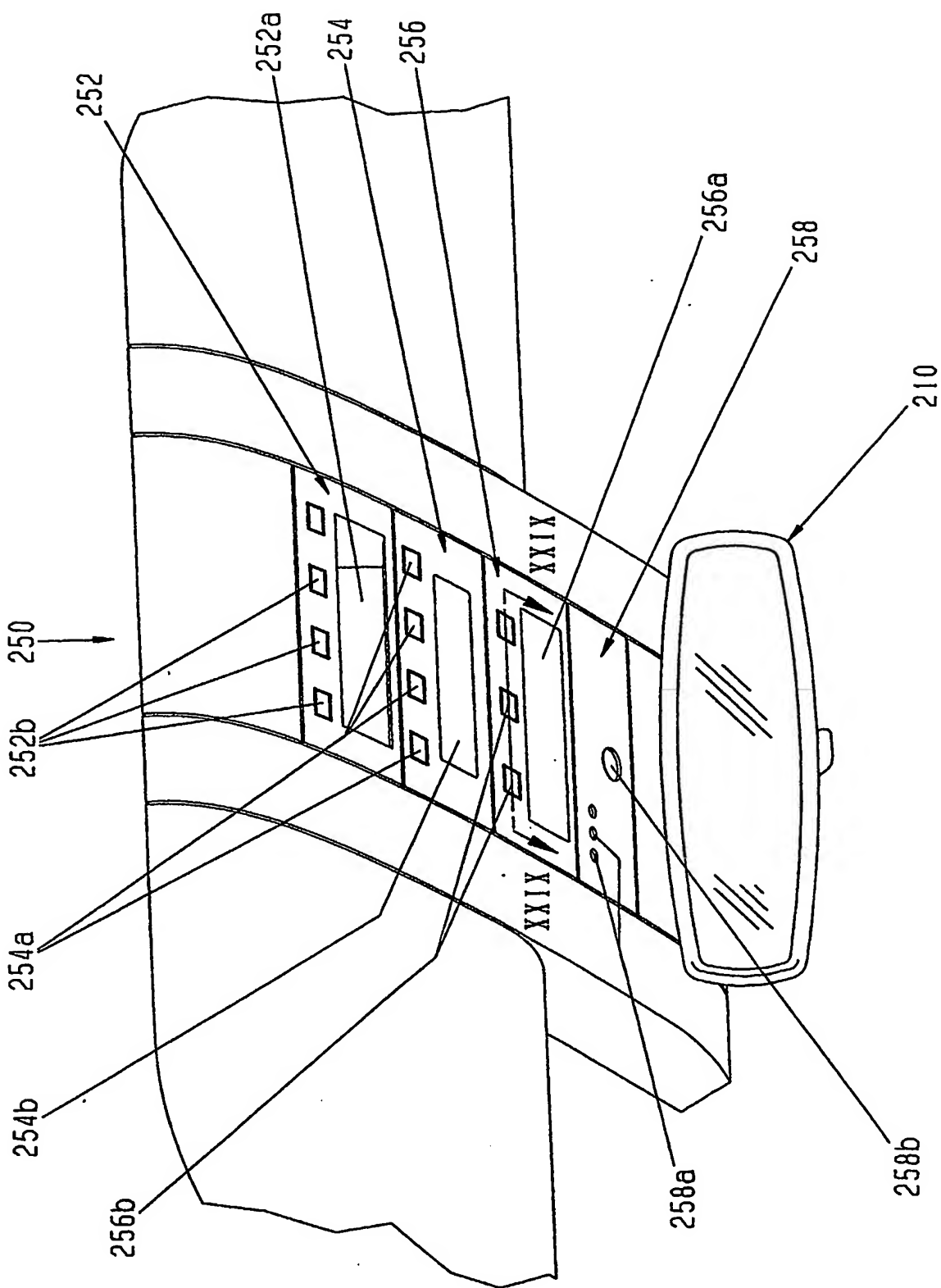


Fig. 27

21/34

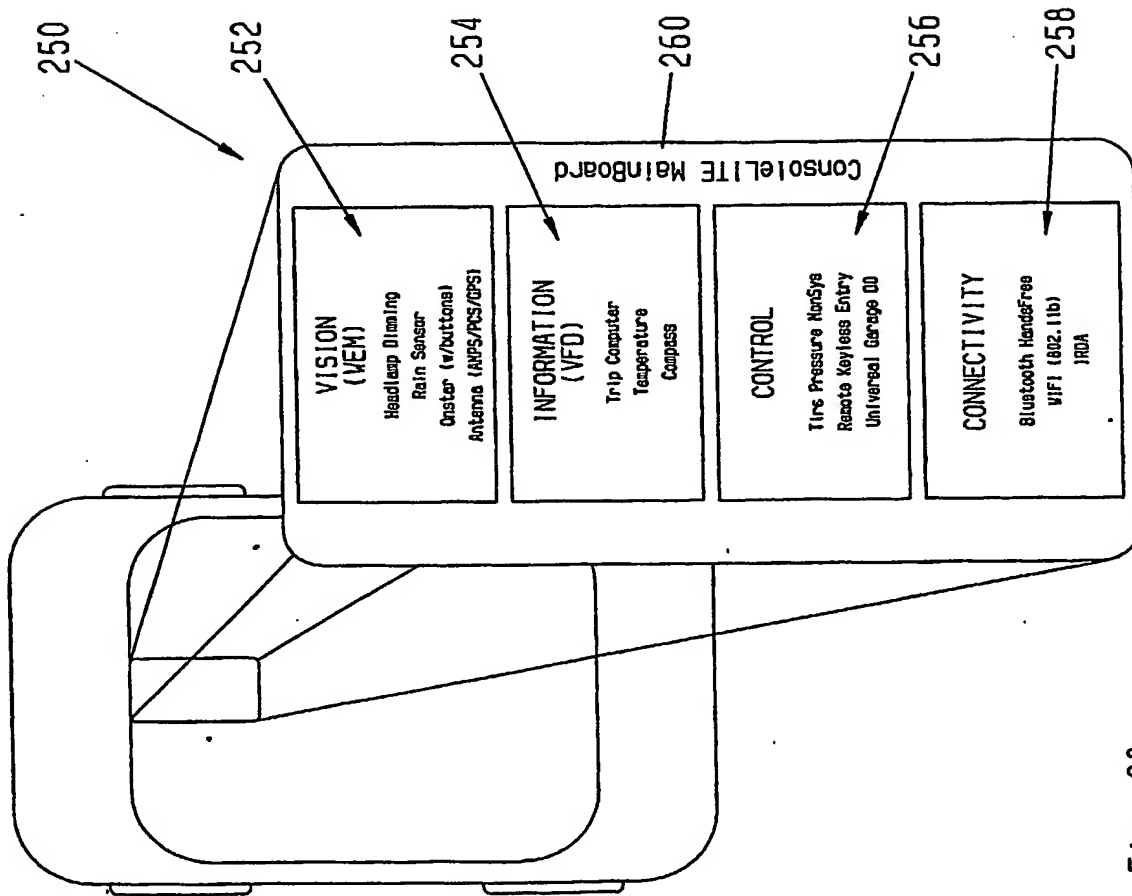


Fig. 28

22/34

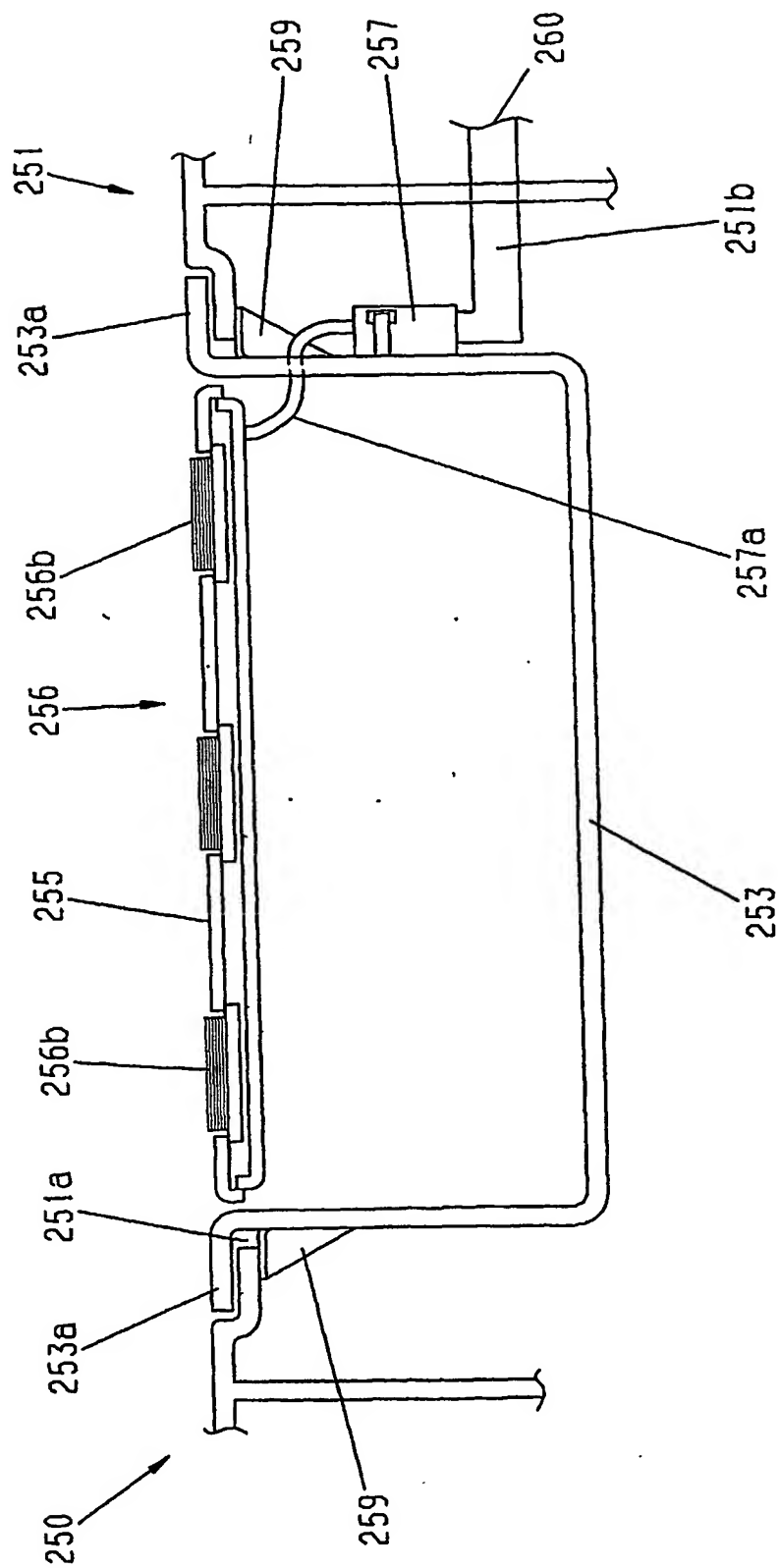


Fig. 29

23/34

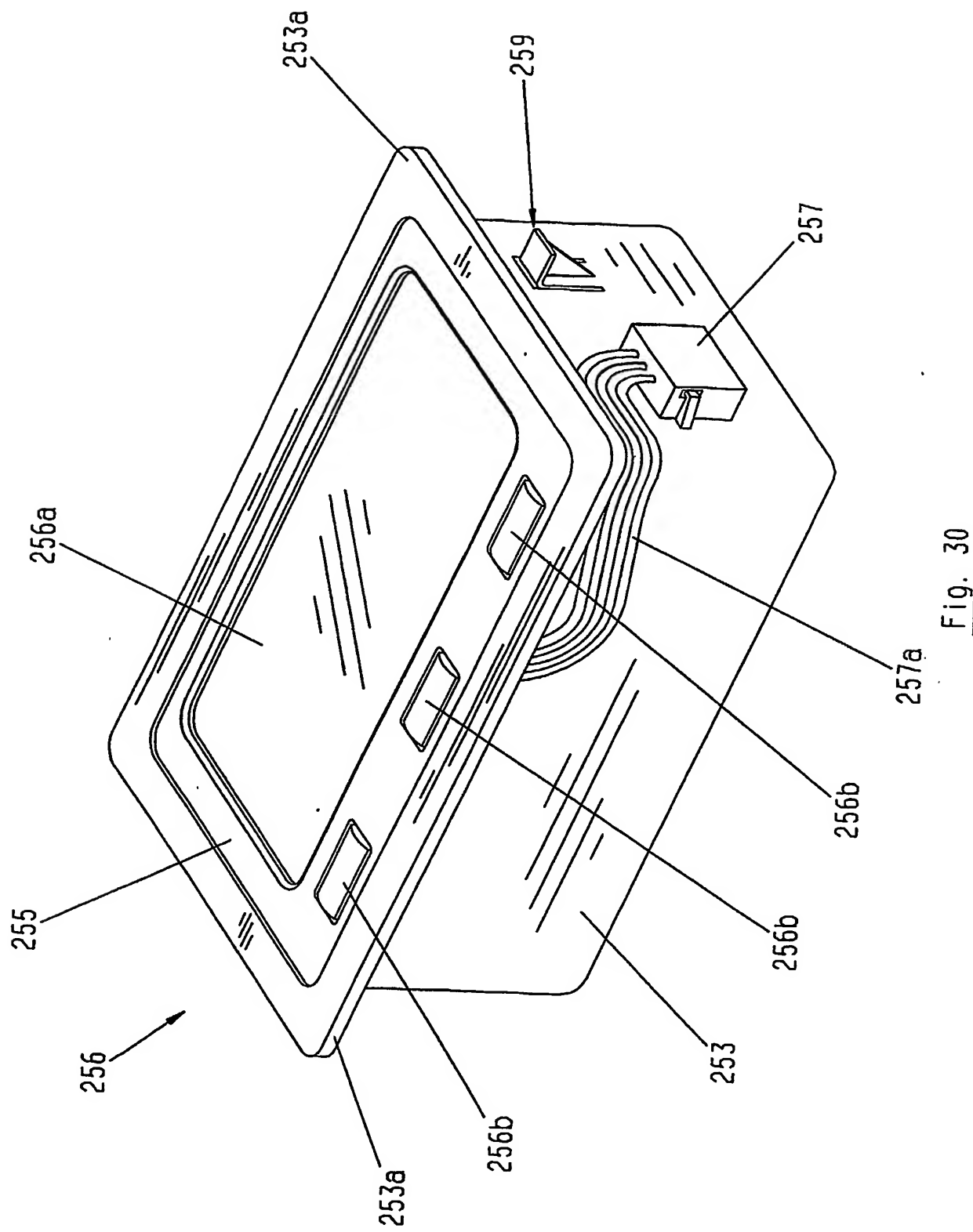


Fig. 30

24/34

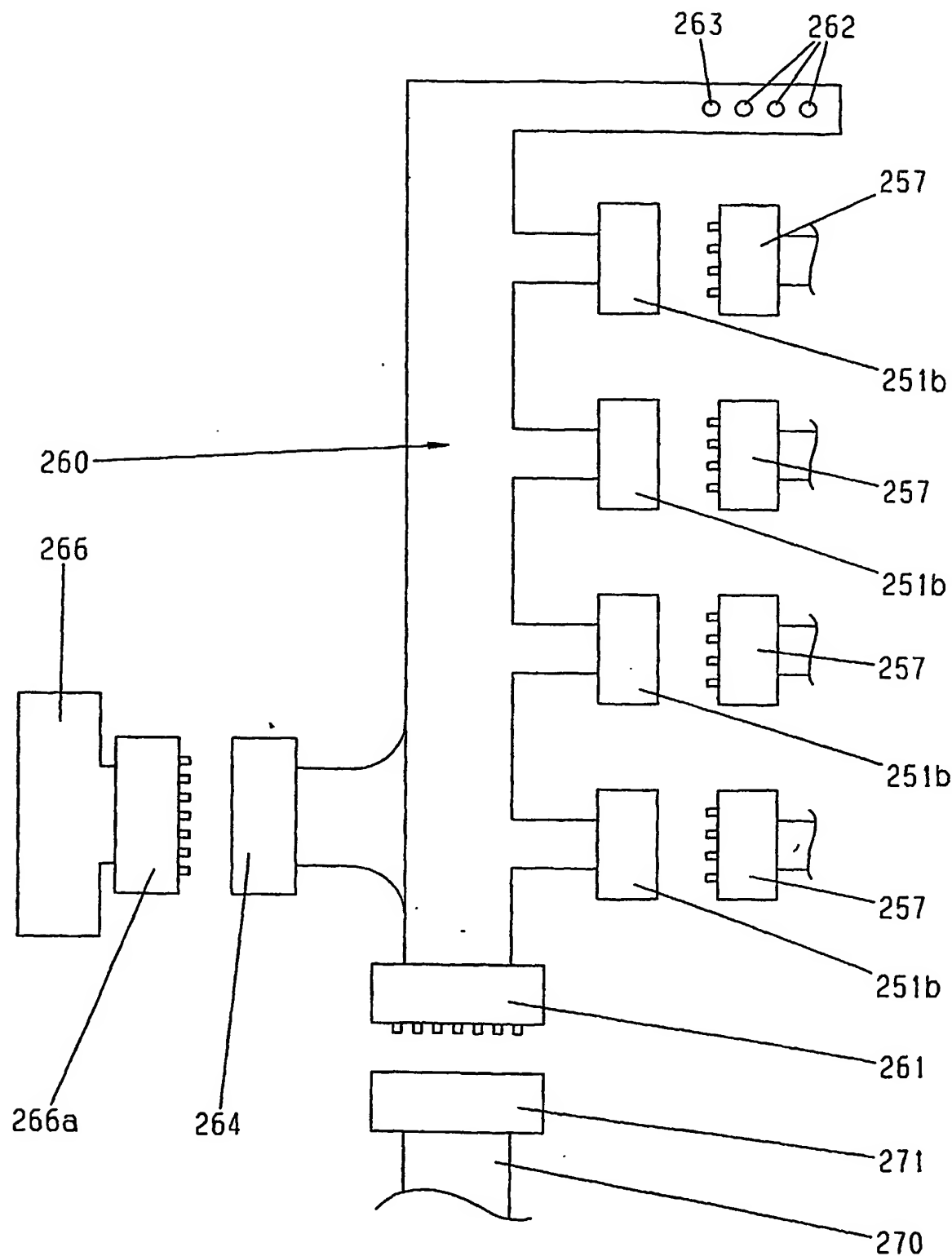


Fig. 31

25 / 34

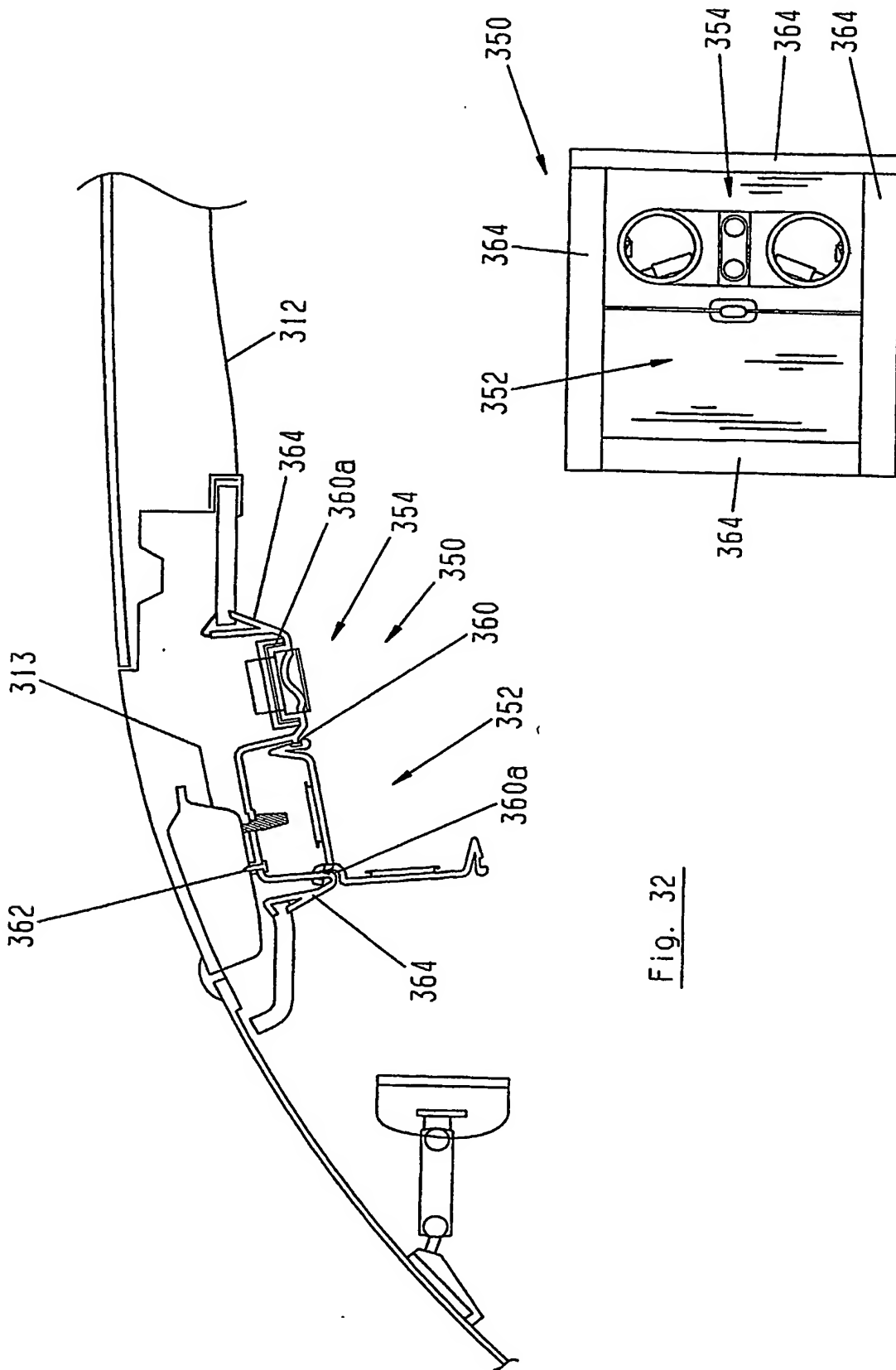
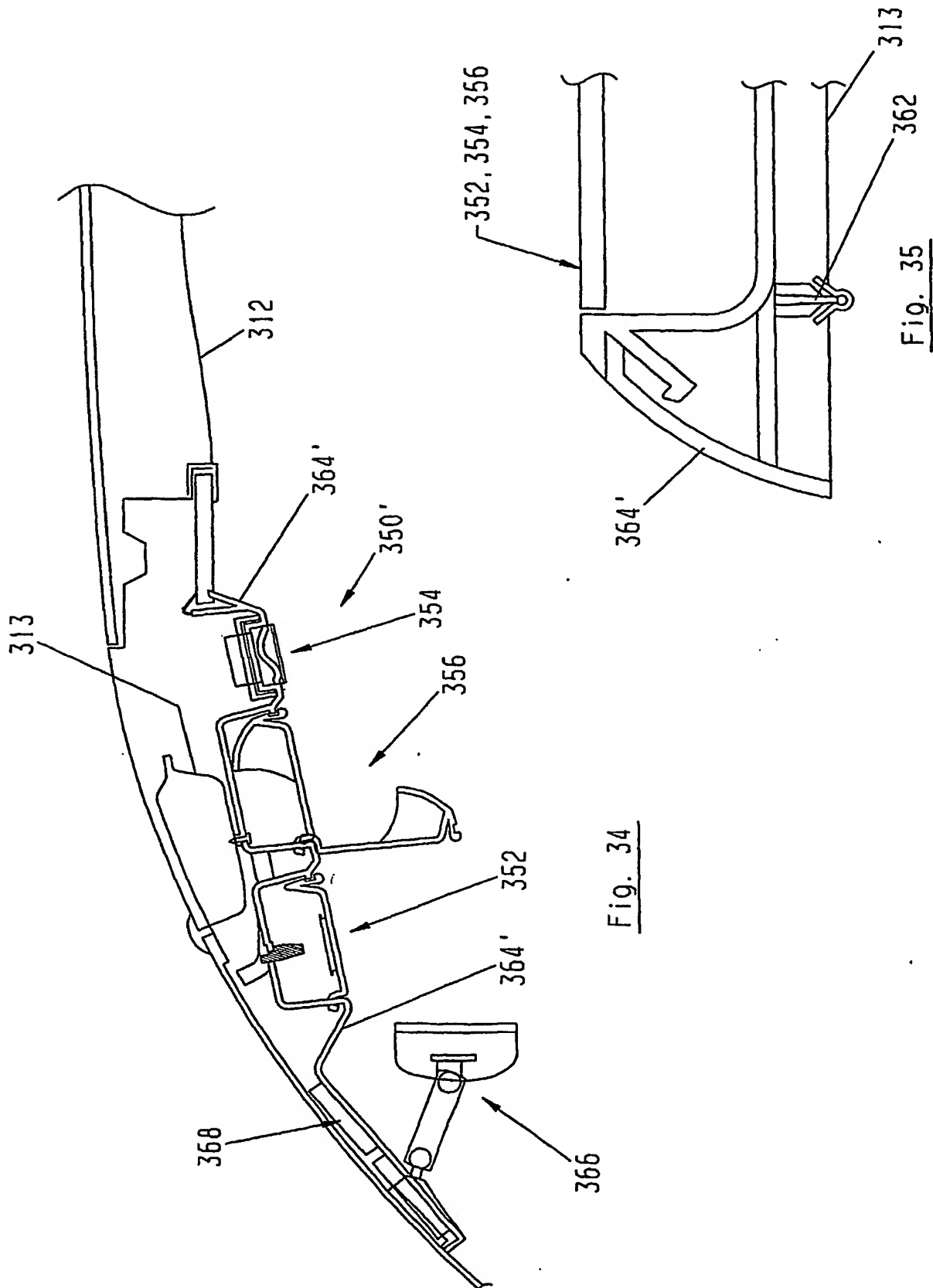


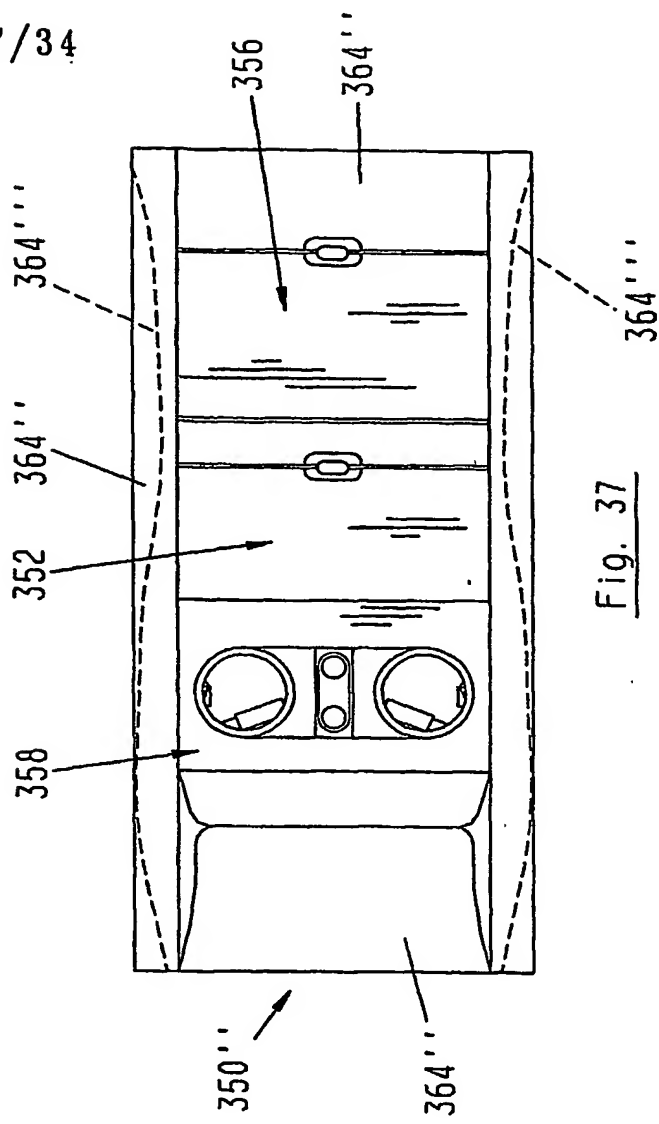
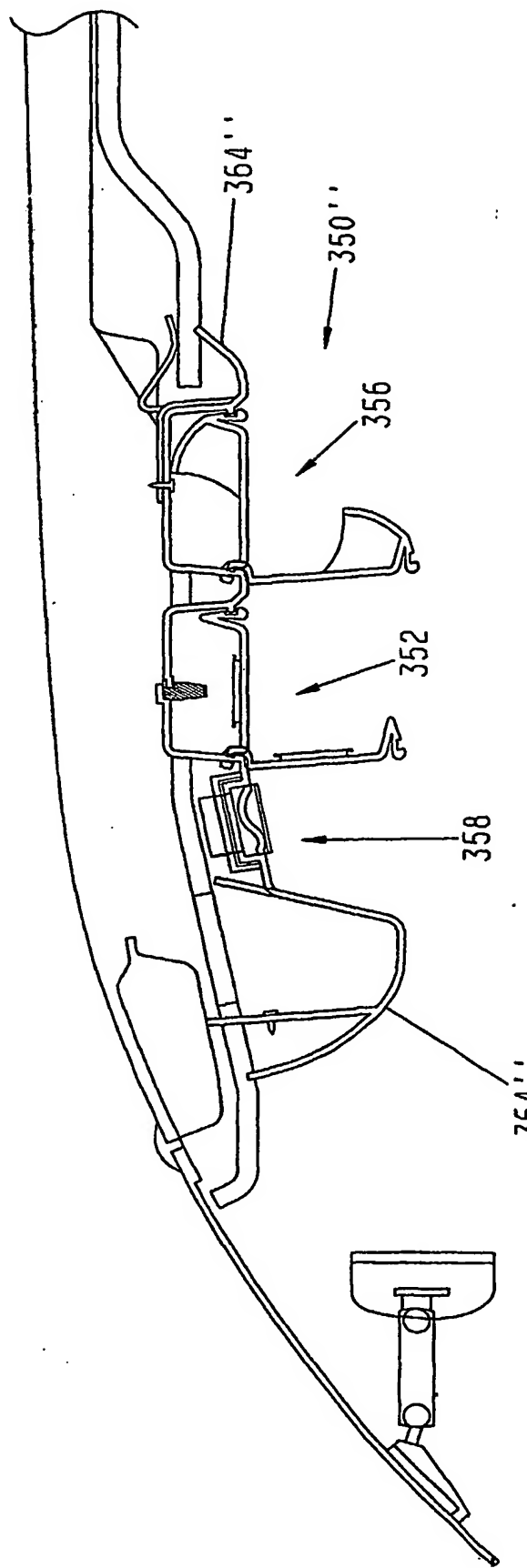
Fig. 32

Fig. 33

26/34



27/34



28/34

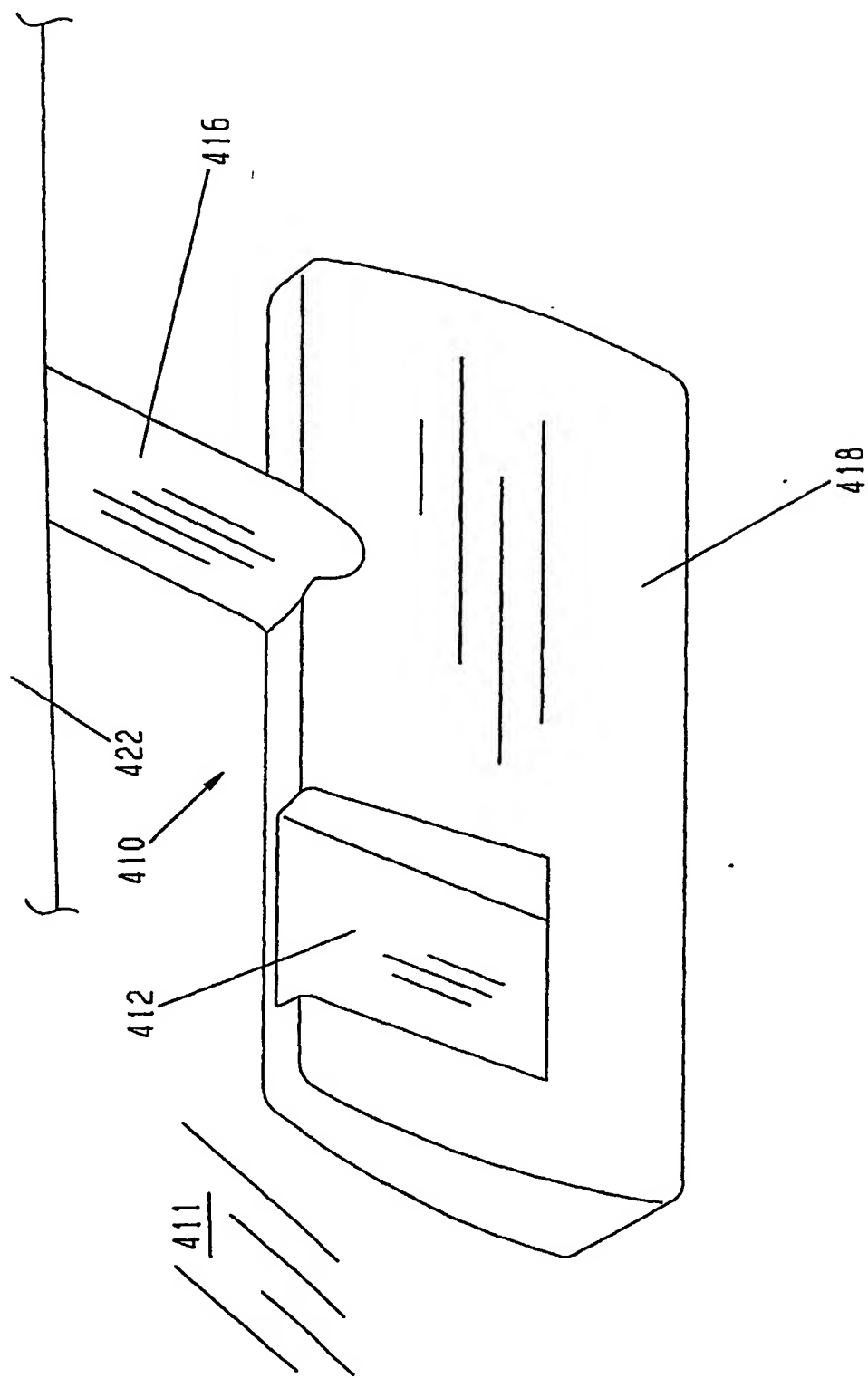


Fig. 38

29/34

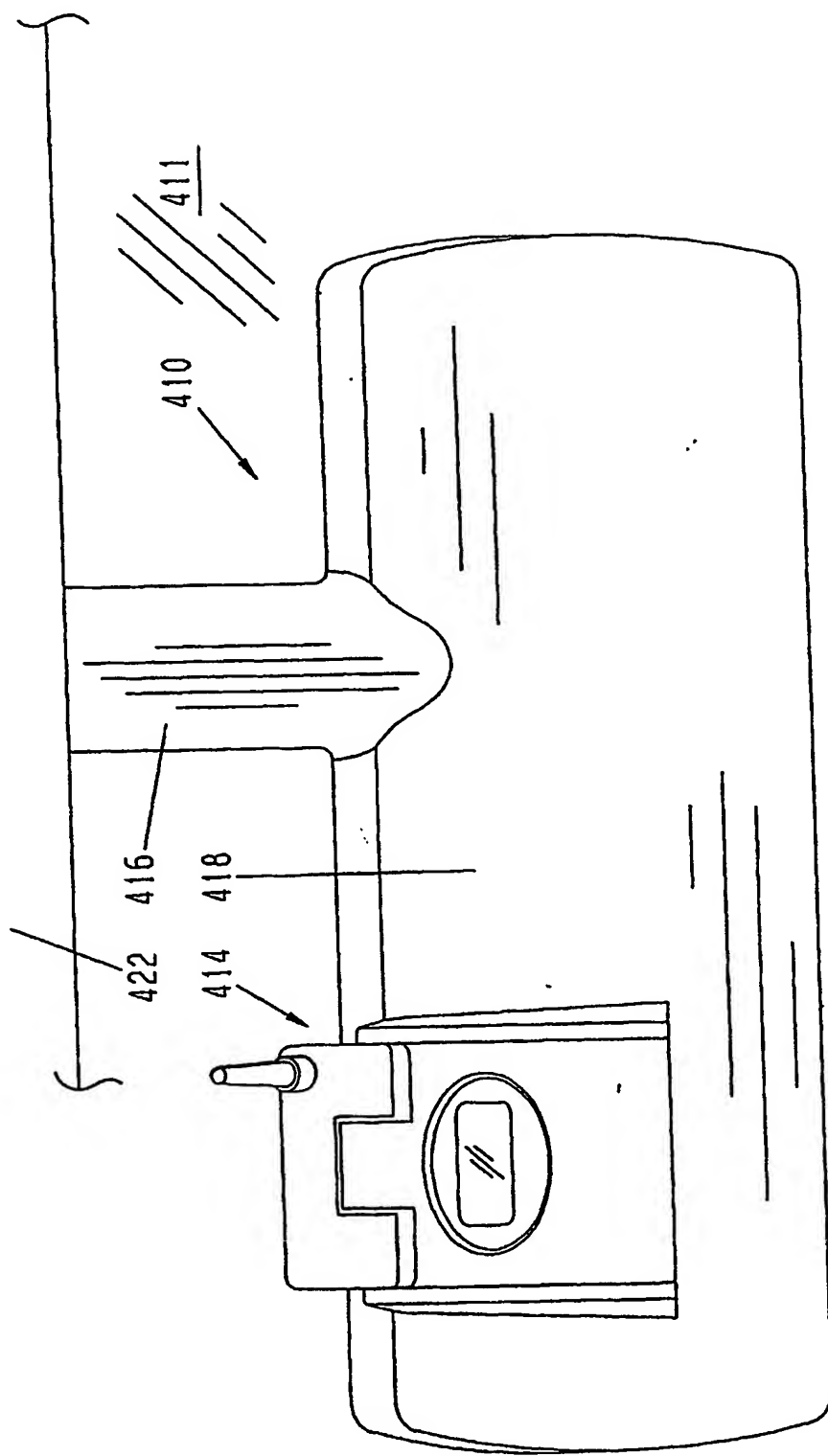
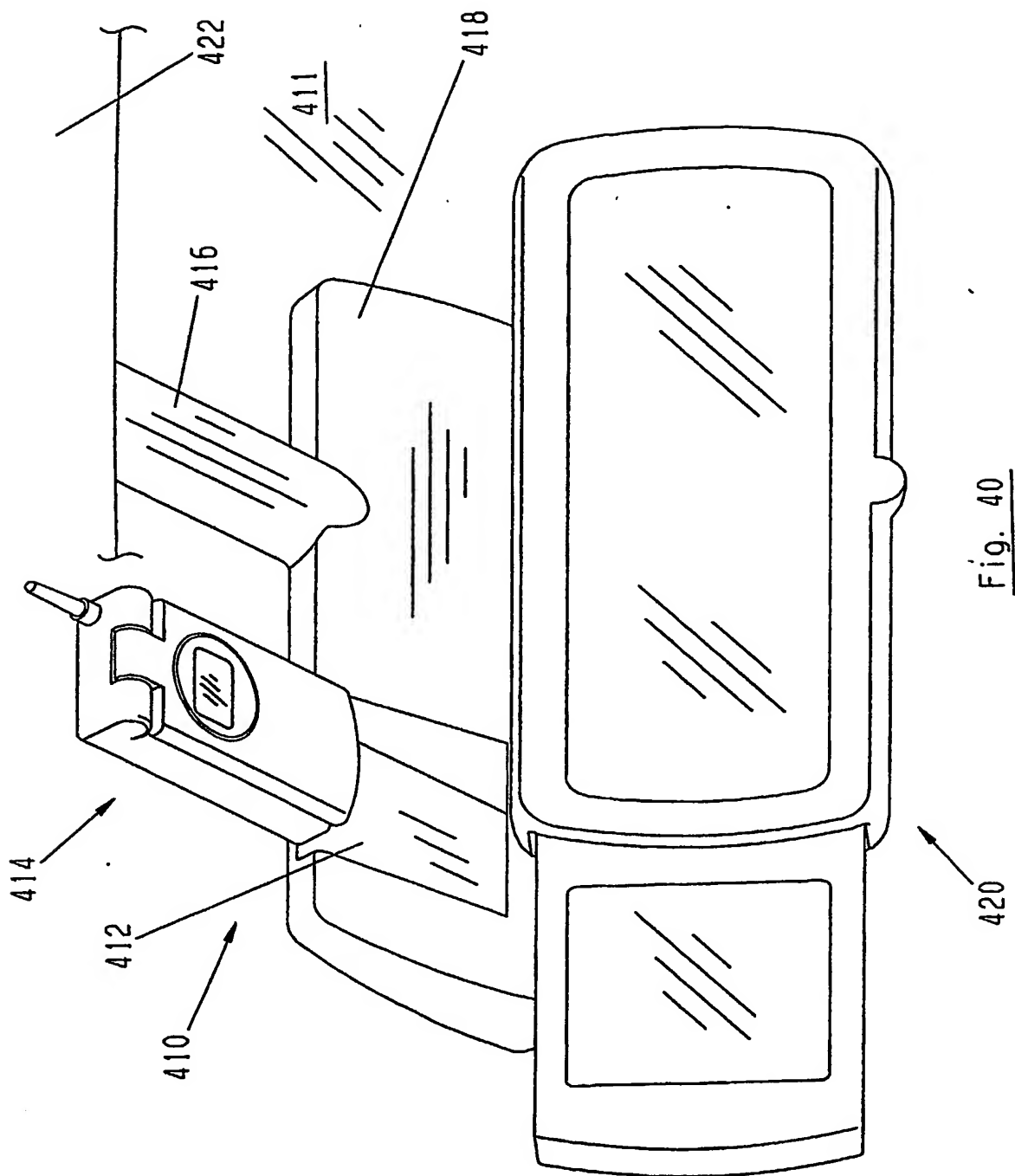


Fig. 39

30/34



31/34

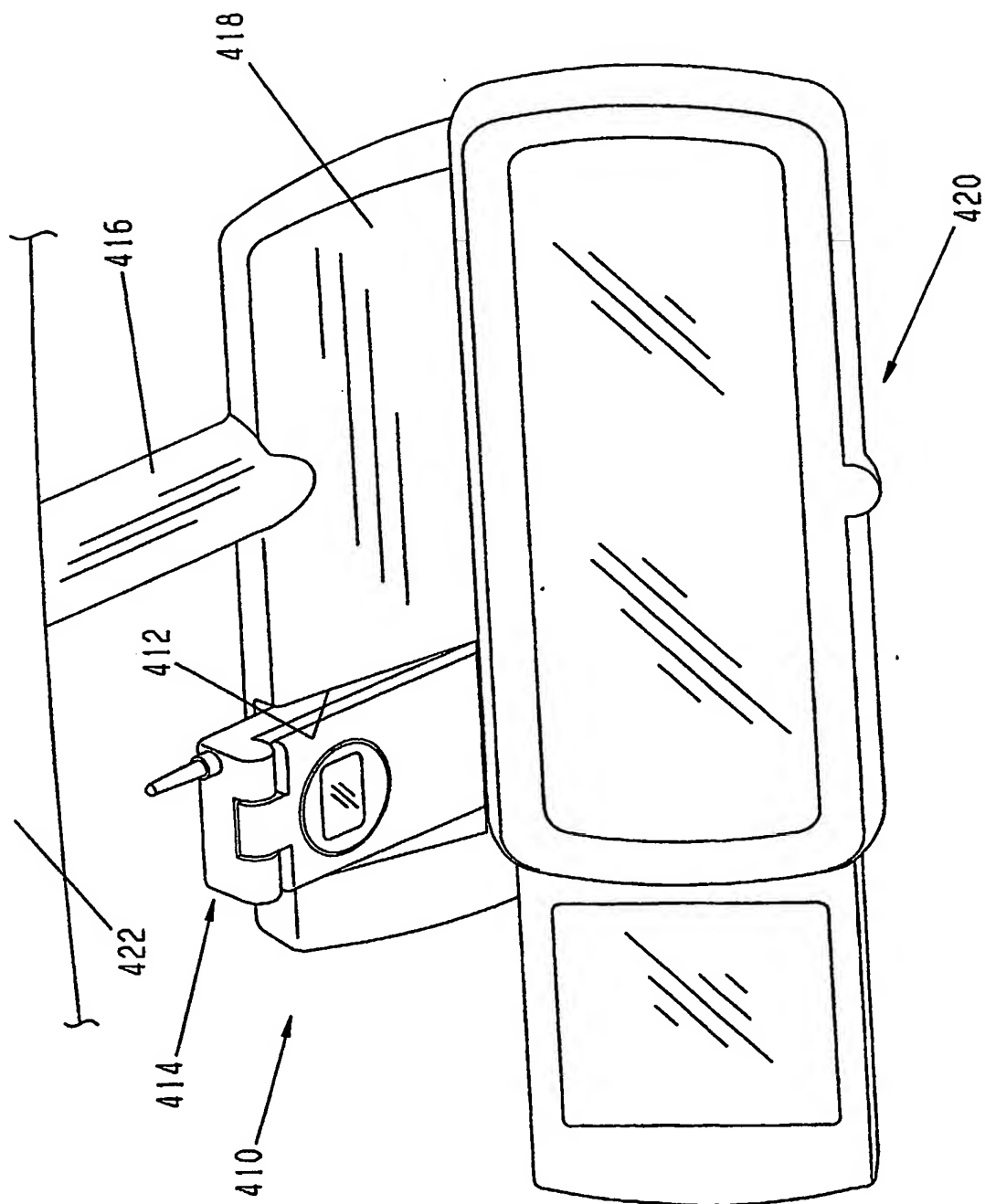
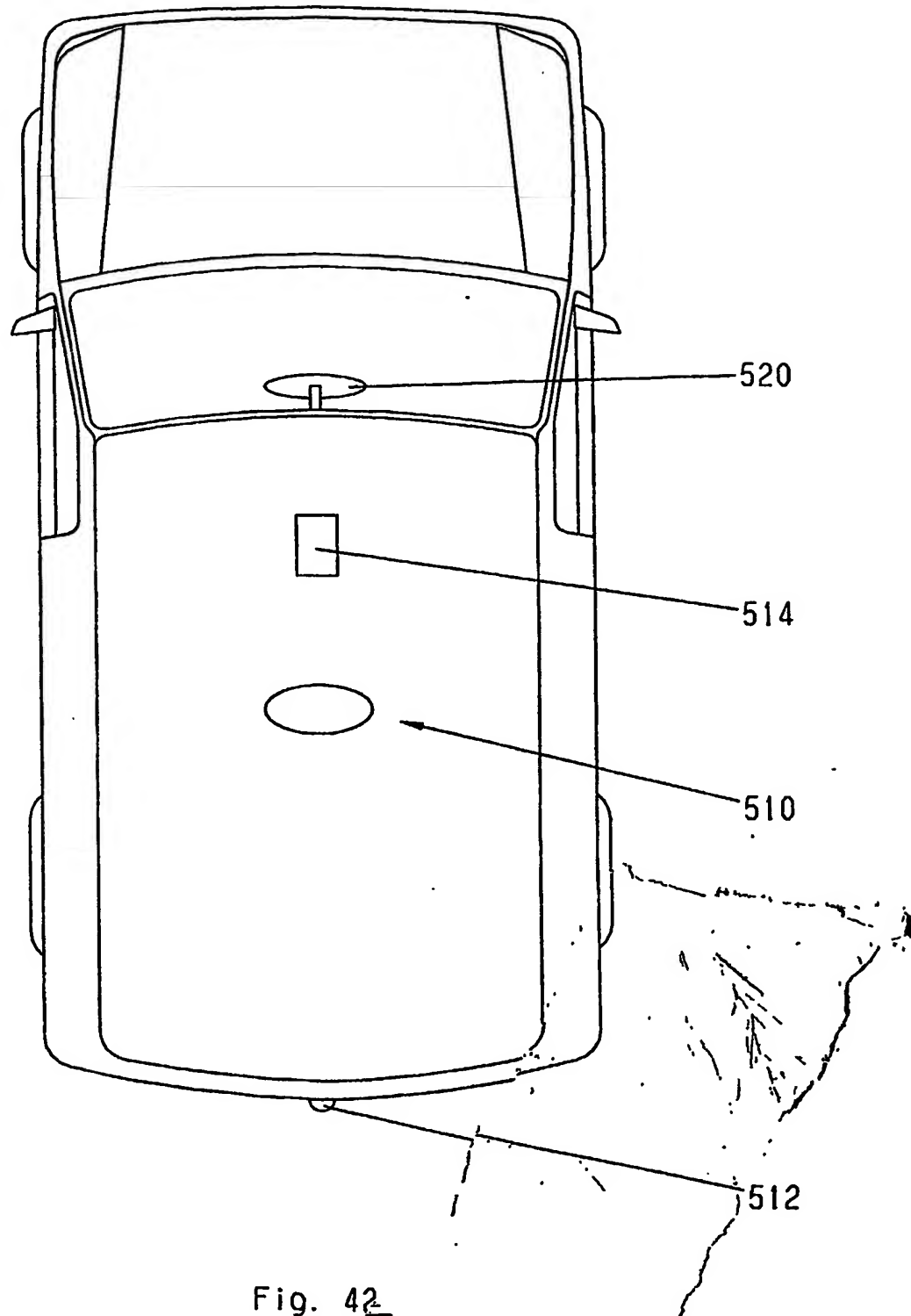


Fig. 41

32/34

Fig. 42

33/34

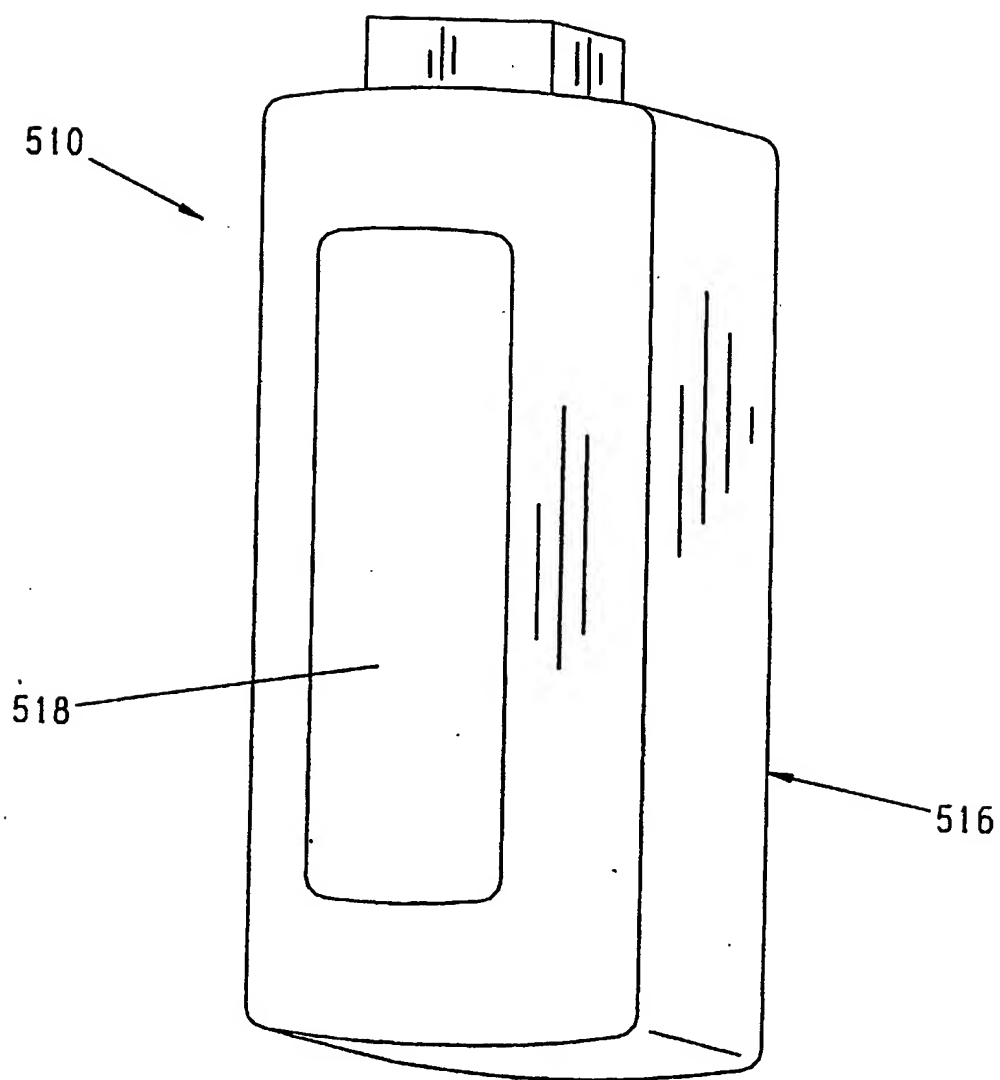


Fig. 43

34/34

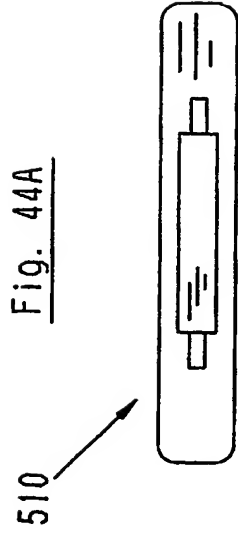


Fig. 44A

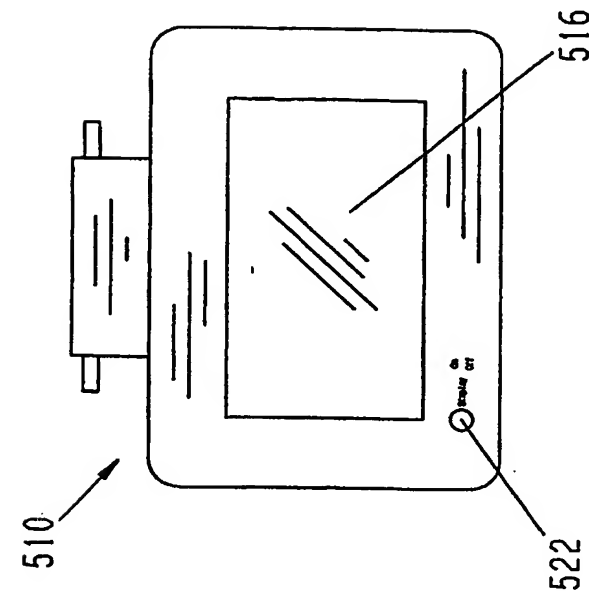


Fig. 44D

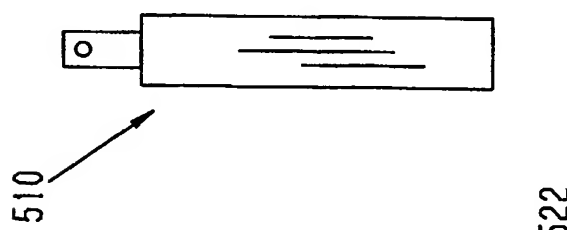


Fig. 44C

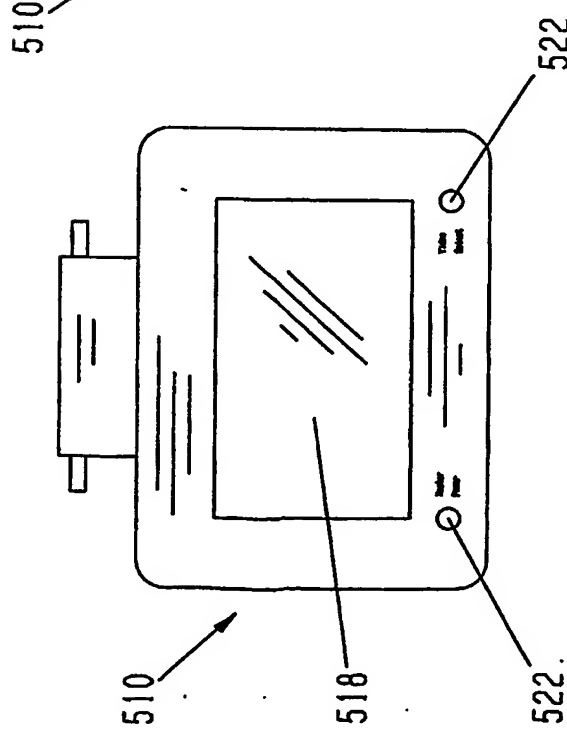


Fig. 44B